# Материаловедение

### Добровольская Ирина Петровна

доктор физико-математических наук

Ведущий научный сотрудник
Институт высокомолекулярных соединений
РАН

## <u>Литература</u>

- Солнцев Ю.П., Пряхин Е.И.
  Материаловедение: Учебник для
  вузов.-СПб: Химиздат, 2007. 784 с.
- Материаловедение: Учебник для вузов / Под ред. Арзамасова Б.Н. 3-е изд. М.: Машиностроение, 2002. 646с.
- *Гуляев А.П.* Металловедение: Учебник для вузов.- 6-е изд. – М.: Металлургия, 1986. – 544 с.

- Материаловедение наука, изучающая связи между составом, структурой и свойствами металлов, полимеров и композиционных материалов.
- Наука о строении и свойствах твердых тел насчитывает около 200 лет.

Российские ученые:

- **П.П. Аносов** в 1831г. впервые изучил влияние углерода на свойства стали.
- **Д.К. Чернов** установил наличие полиморфизма железа.

## Тема лекции

- Кристаллическое строение материалов
  - -типы кристаллических решеток
  - дефекты кристаллов

# Современные направления развития материаловедения

• Высокопрочные, высокомодульные материалы

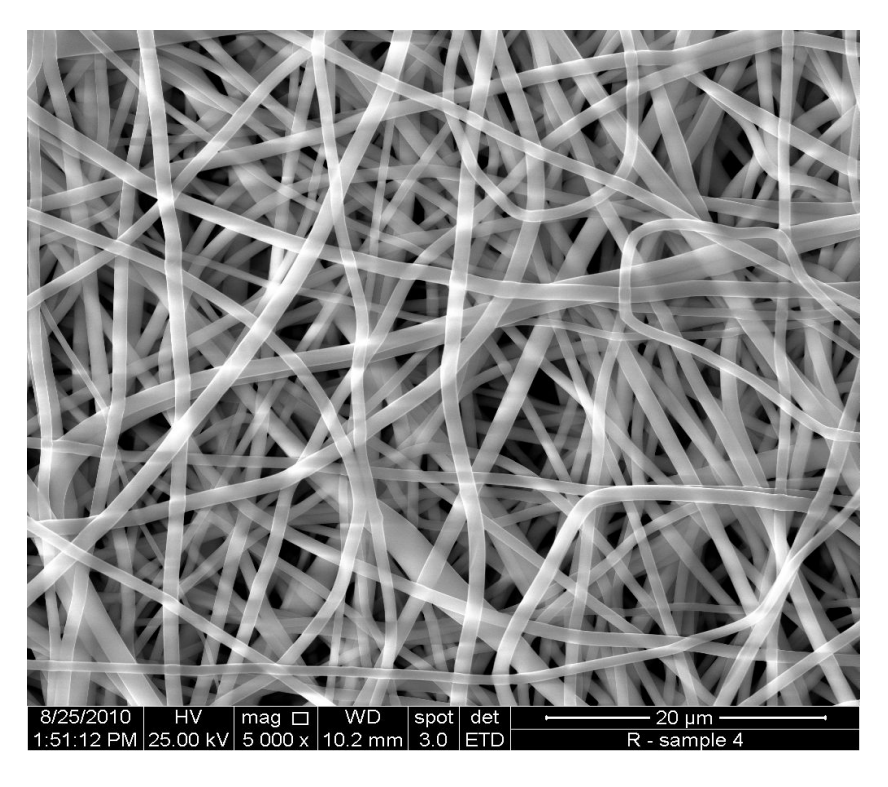
Сталь - 1 500 МПа

Полимеры - 3 500 МПа

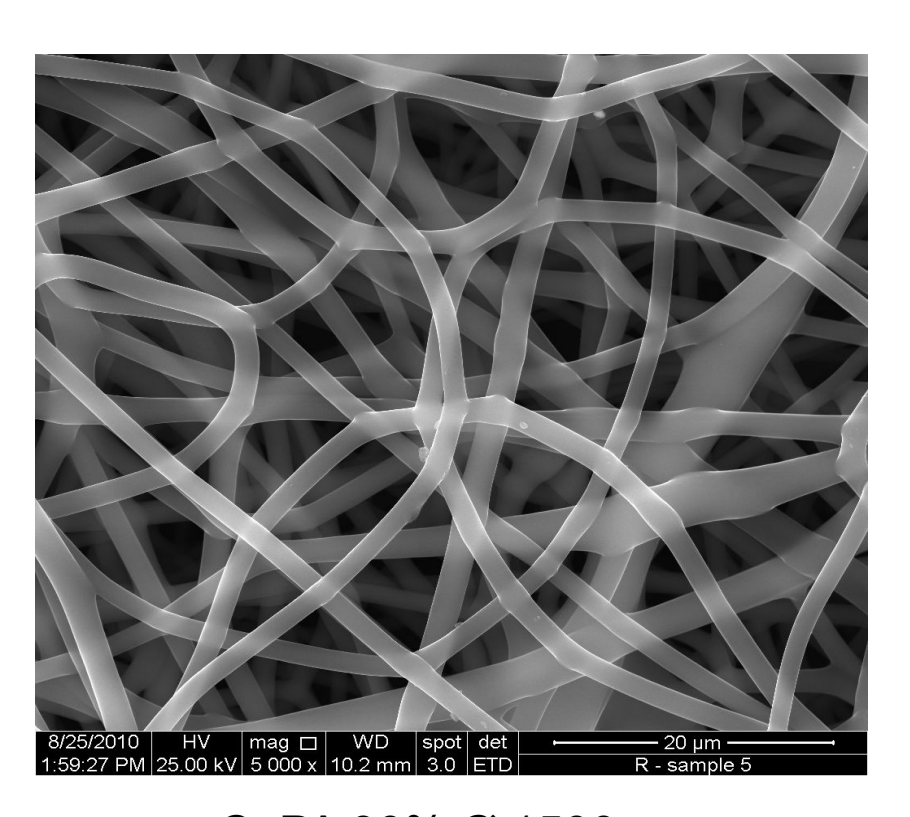
Углерод – 5 500 MПа

- Радиационностойкие
- Термо- и жаростойкие
- Хемостойкие
- Материалы с заданными трибологическими свойствами
- **Наноматериалы** (нано 10 <sup>-9</sup> м)

#### **3D-Matrices Processed by Electro-Spinning**



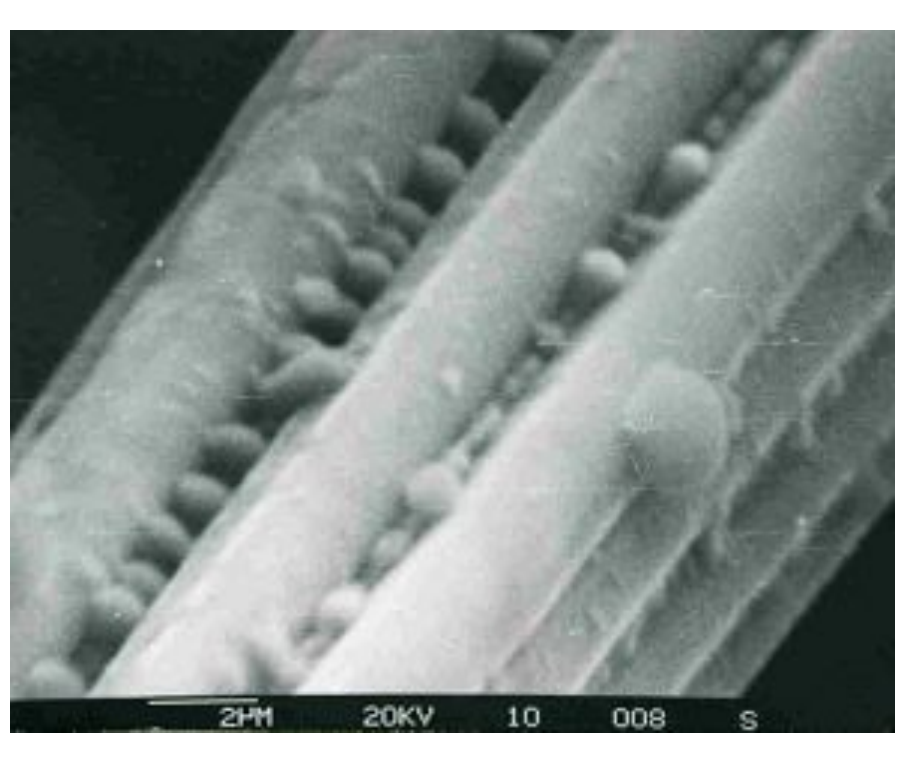
CoPA 20% Ø 800 nm

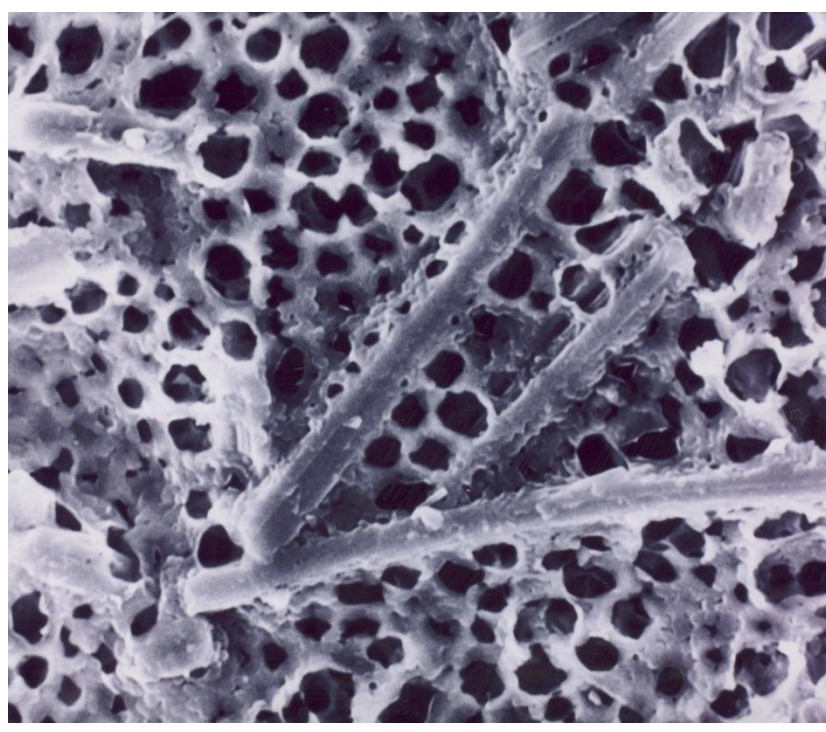


CoPA 30% Ø 1500 nm

Dependence of Fiber's Diameter on Concentration of CoPA Polymer Solution

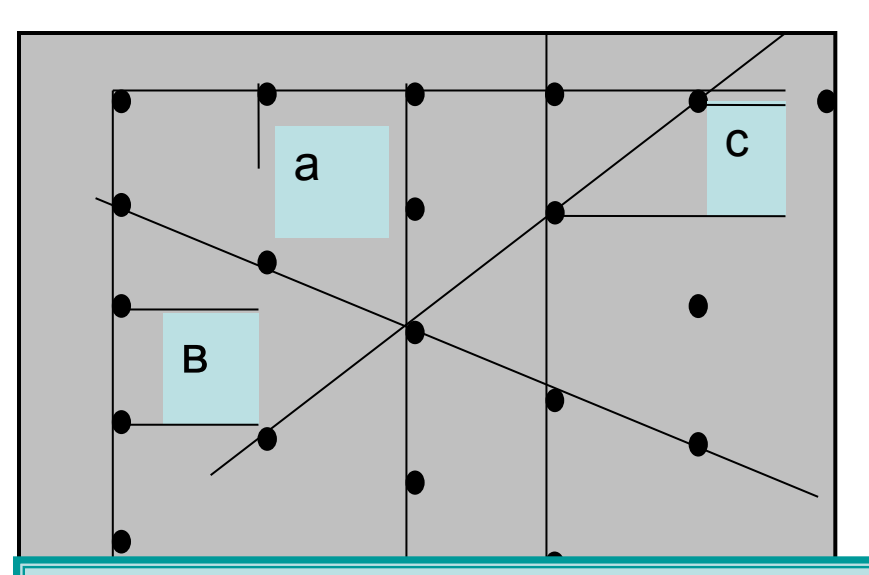
# Примеры наноструктур



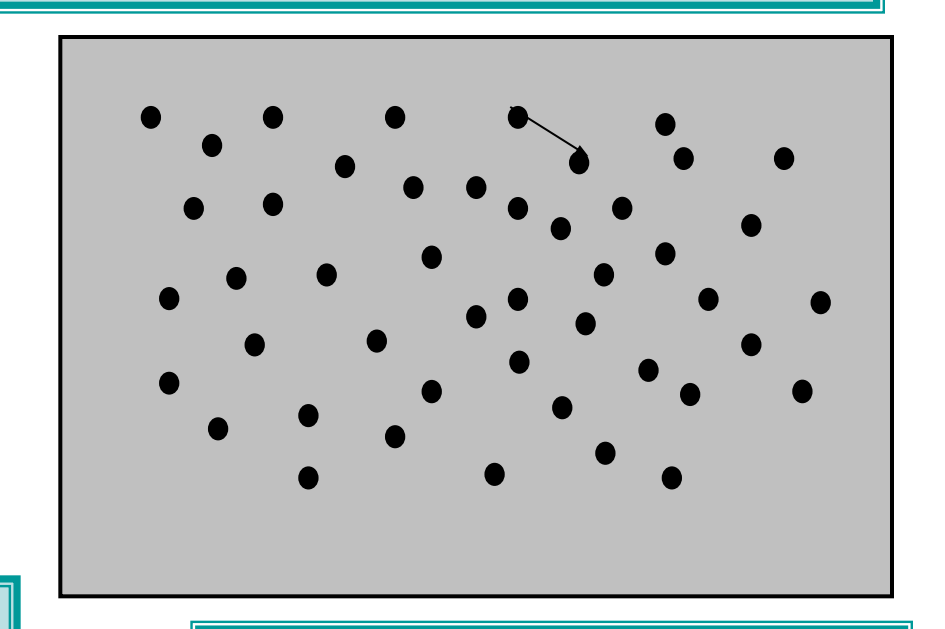


# Кристаллическая структура материалов

# Типы упорядоченности в твердых и жидких телах



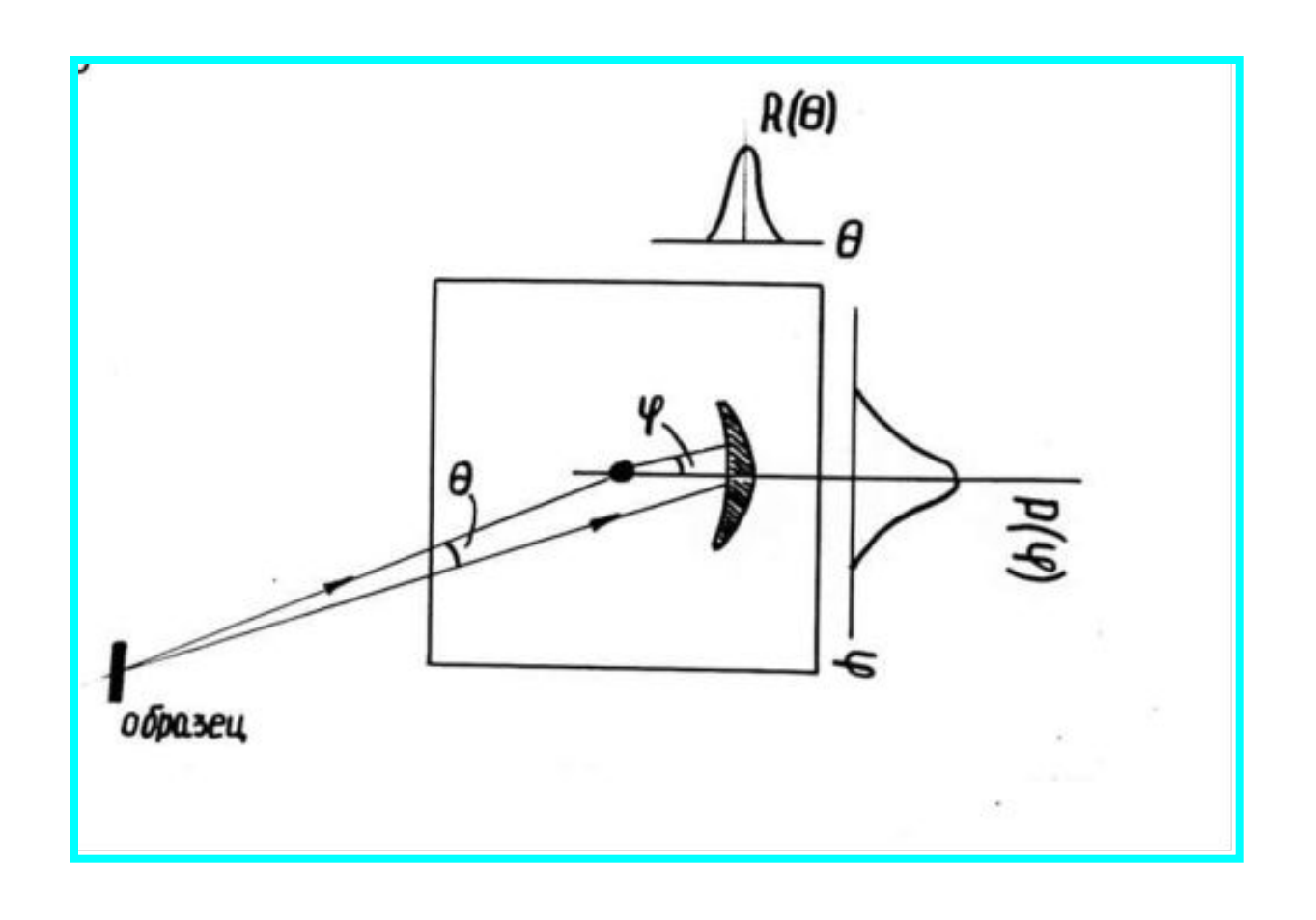
Дальний порядок — в каком - то направлении, на расстоянии *па* от заданного атома обязательно находится атом



#### Ближний порядок

а – среднее расстояние между атомами

# Схема рентгеновского рассеяния



# Рентгеновское рассеяние газом, жидкостью и кристаллическим веществом



# Кристаллические структуры

Для описания кристаллической структуры используют понятие кристаллической ячейки.

Трансляцией этого наименьшего объема можно полностью воспроизвести структуру кристалла.

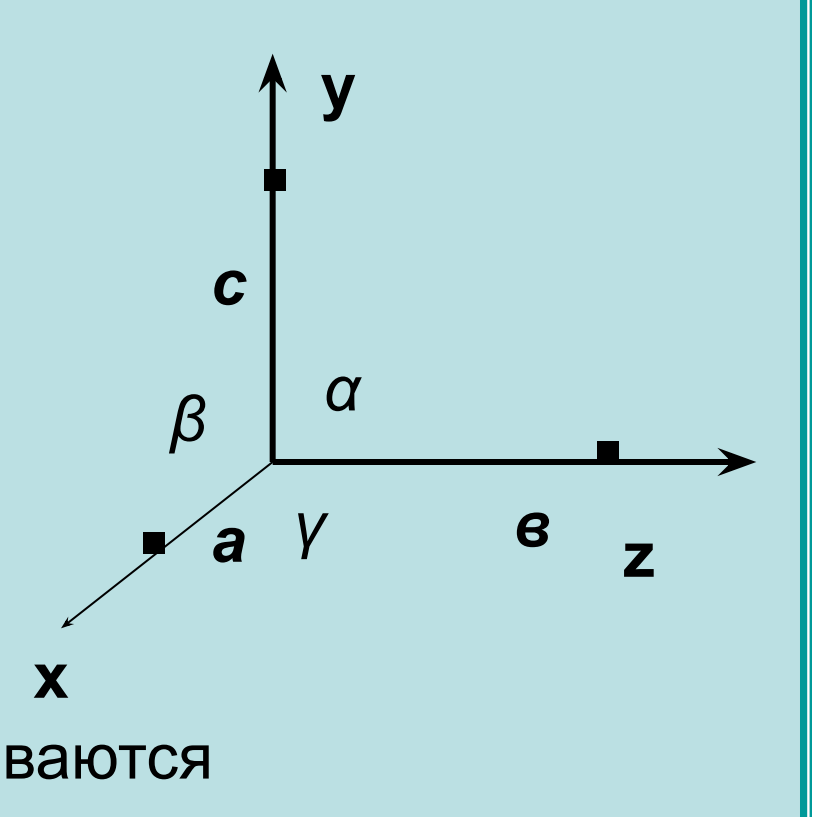
# Основные типы кристаллических решеток

- Кубическая
- Тетрагональная
- Ромбическая
- Ромбоэдрическая
- Гексагональная
- Моноклинная
- Триклинная

Расстояния *а, в, с,* 

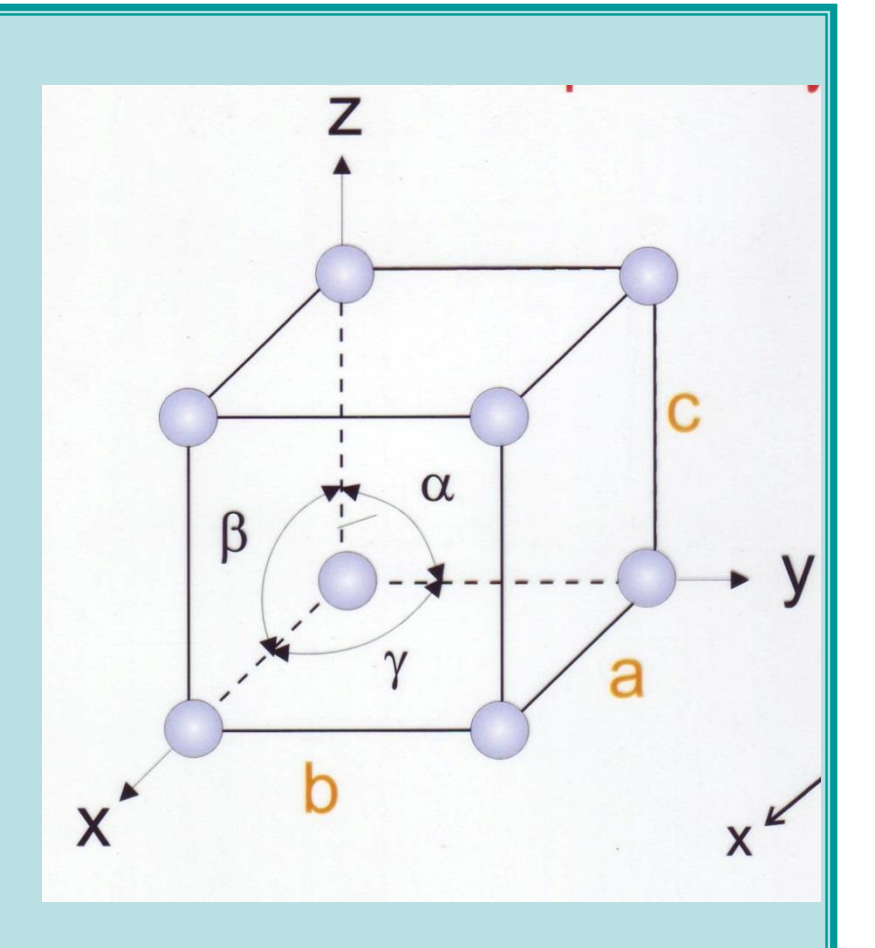
между центрами атомов, называются

параметрами или периодами решетки.



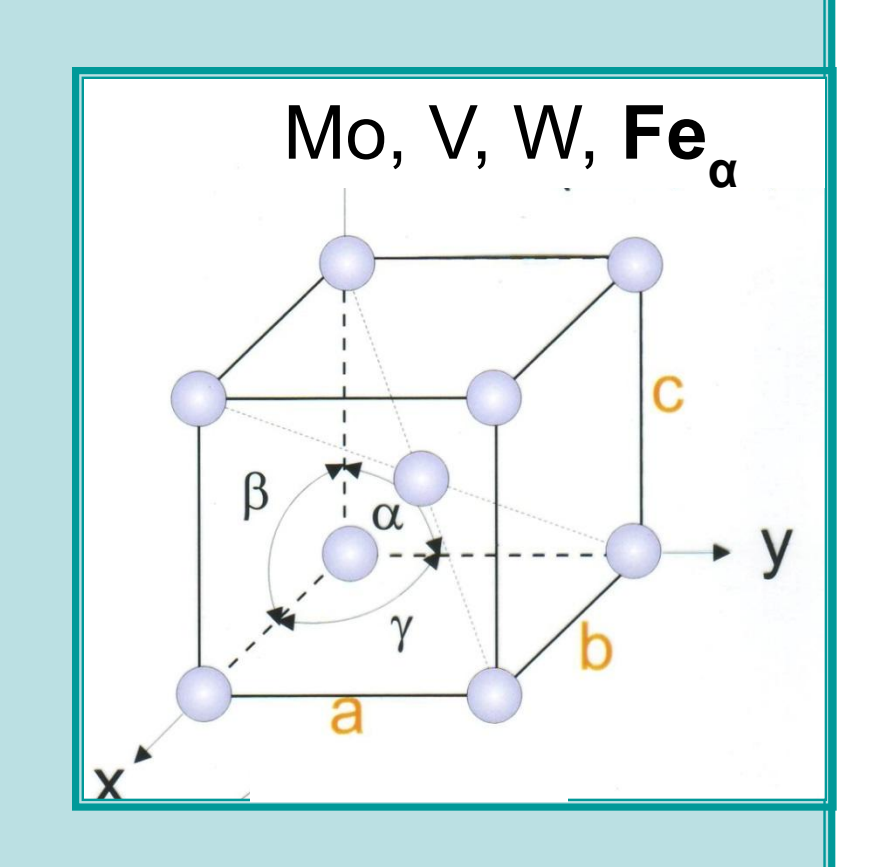
### Кубическая решетка

- Характеристики:
- углы между осями
   α = β =γ =90°
- параметры решеткиa = b= c
- координационоечисло Z = 6



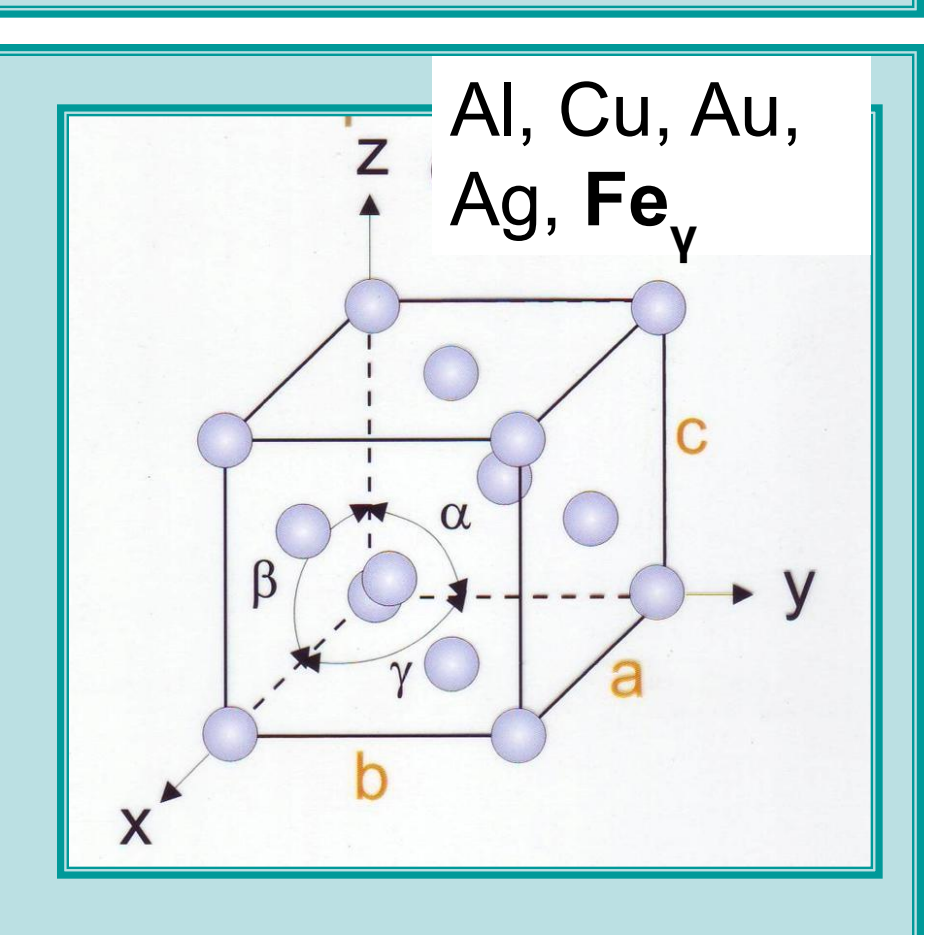
# Объемноцентрированная кубическая (ОЦК)

- Характеристики:
- углы между осями α = β =γ =90°
- параметры решеткиa = b= c
- координационное число Z=8



## Гранецентрированная кубическая (ГЦК)

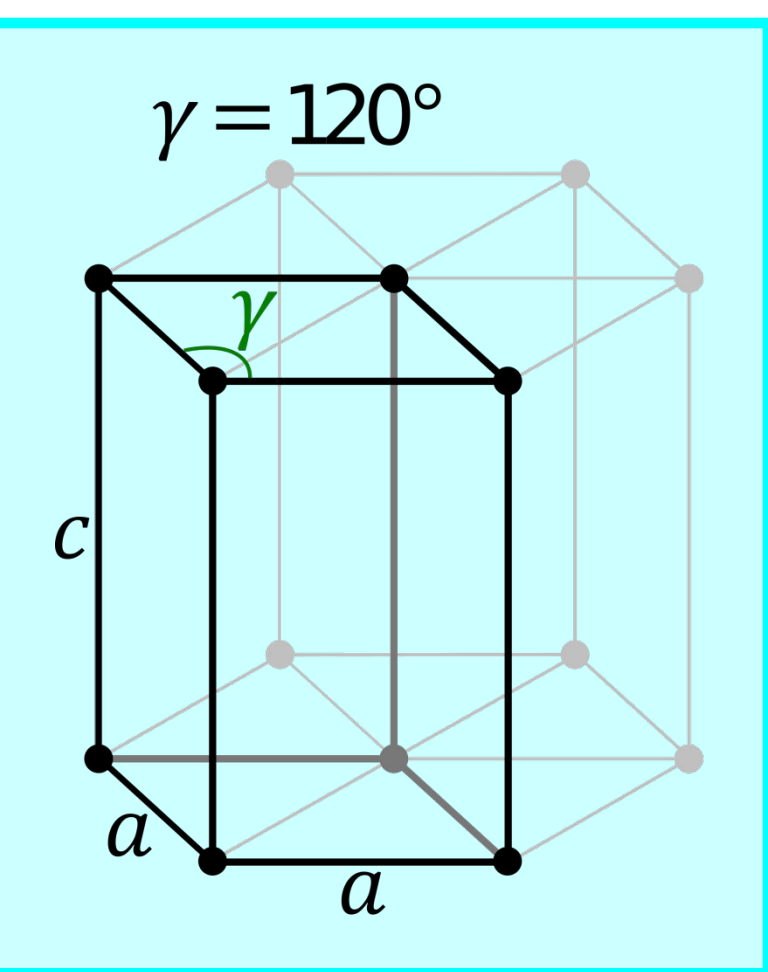
 Координационное число Z=12



# Гексагональная сингония

#### призма

с основанием правильного шестиугольника



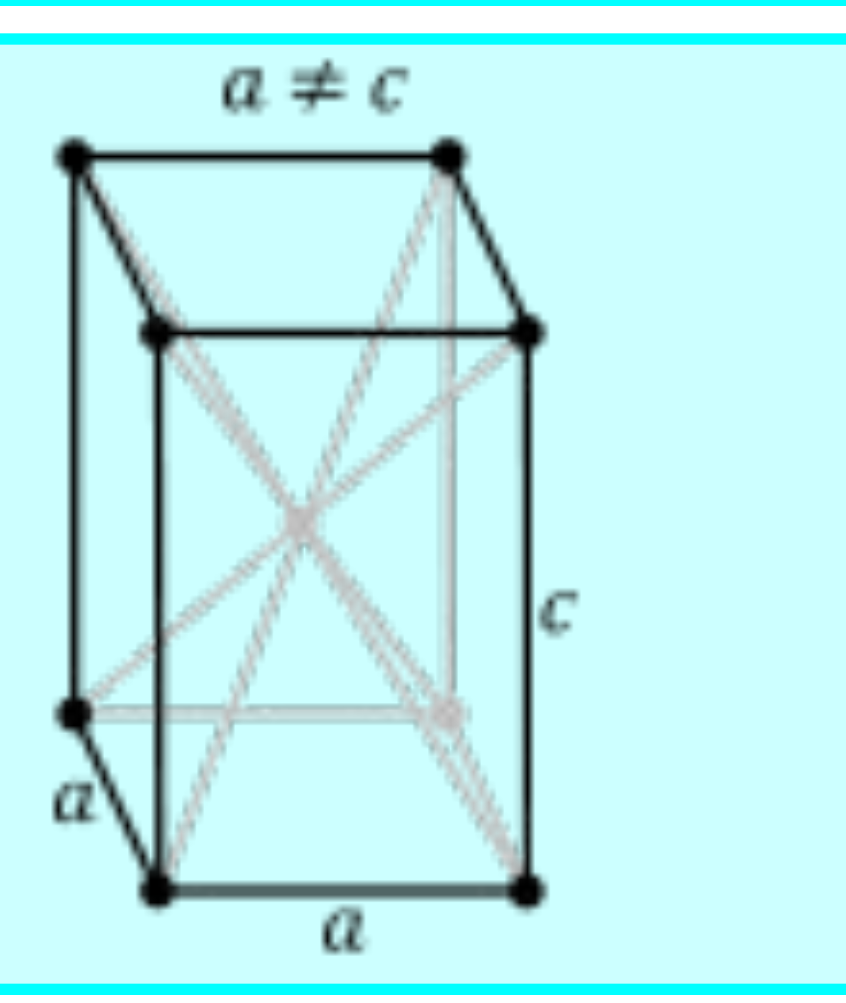
# Тетрагональная сингония

прямоугольный параллелепипед

с квадратом

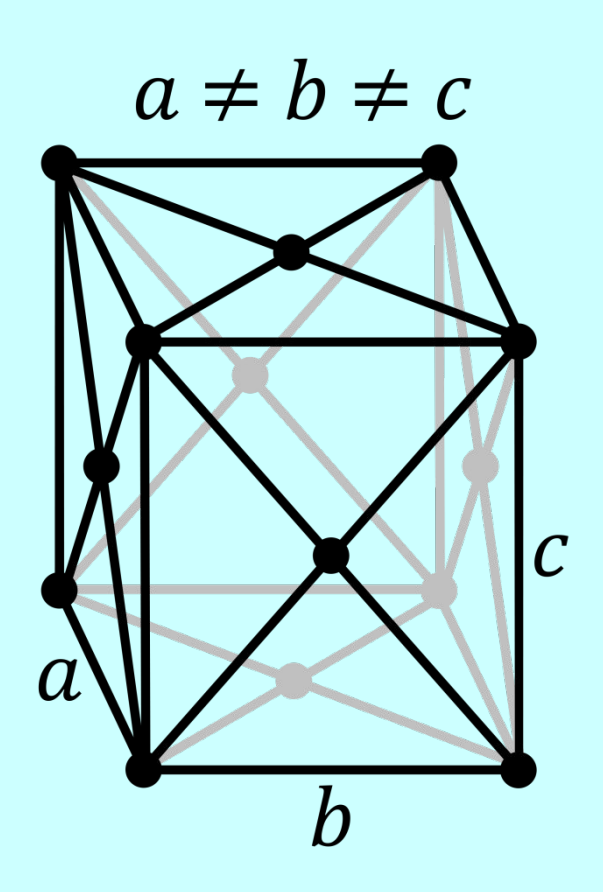
в основании,

Все углы 90°



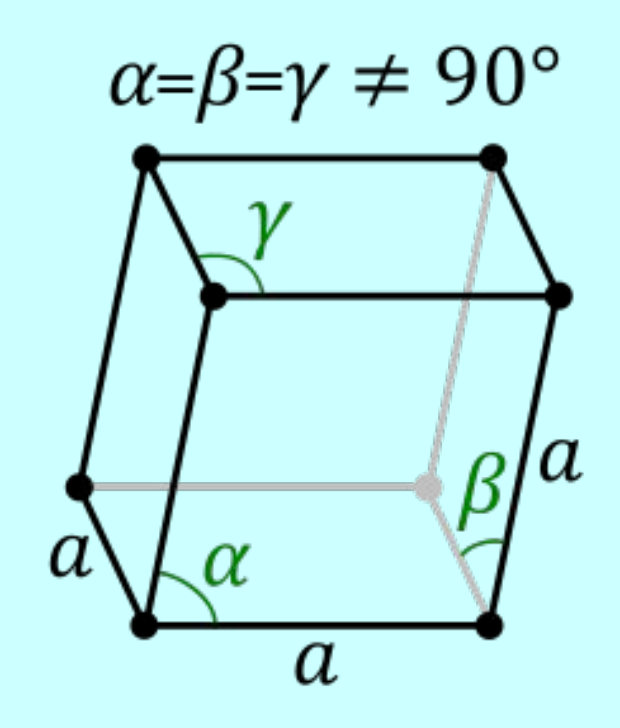
# Ромбическая

прямоугольный параллелепипед



# Ромбоэдрическая сингония

# Все грани - ромбы



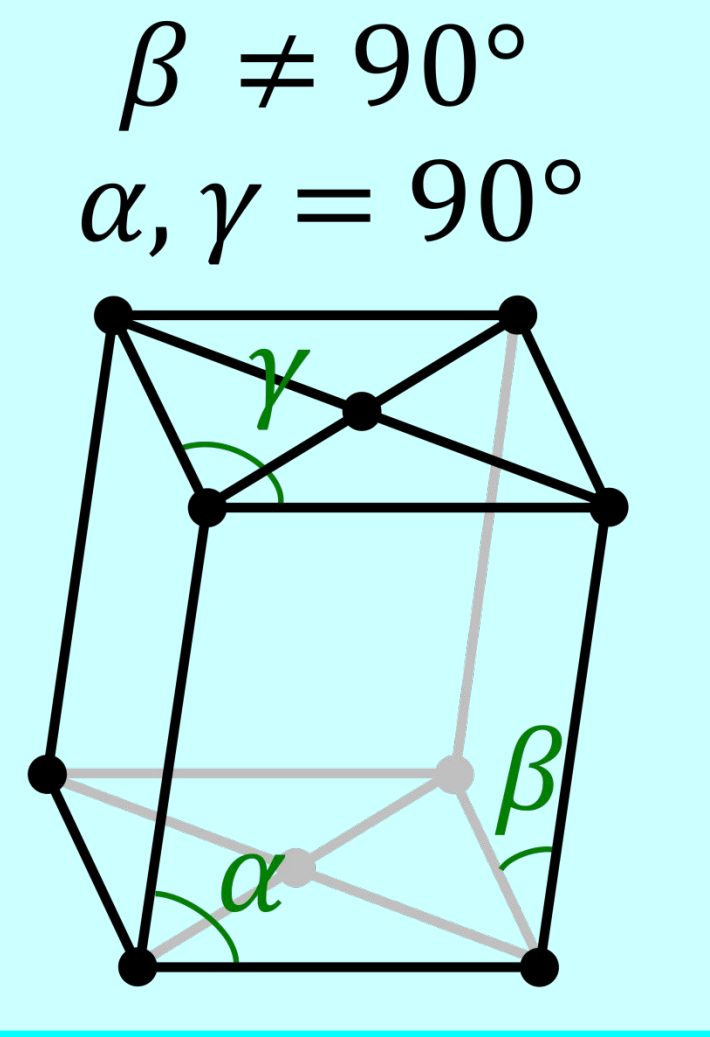
# **Моноклинная**

#### призма

с параллелограммом

в основании

 $a \neq B \neq C$ 

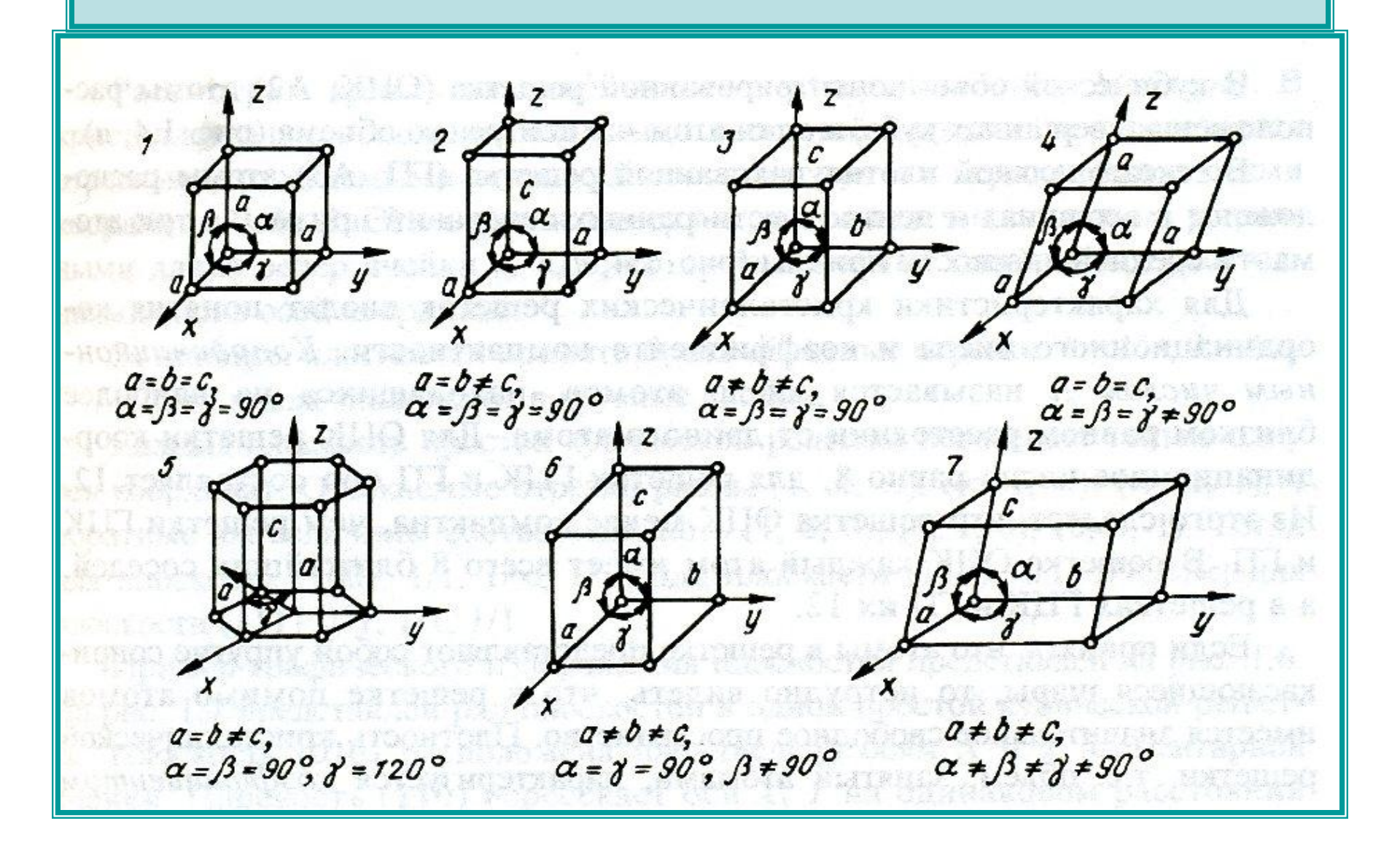


# Триклинная

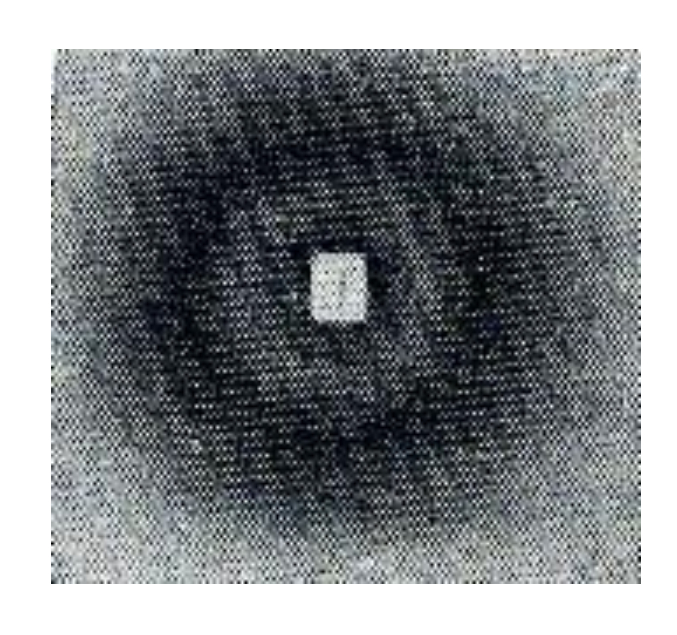
$$\alpha, \beta, \gamma \neq 90^{\circ}$$

$$a \neq B \neq C$$

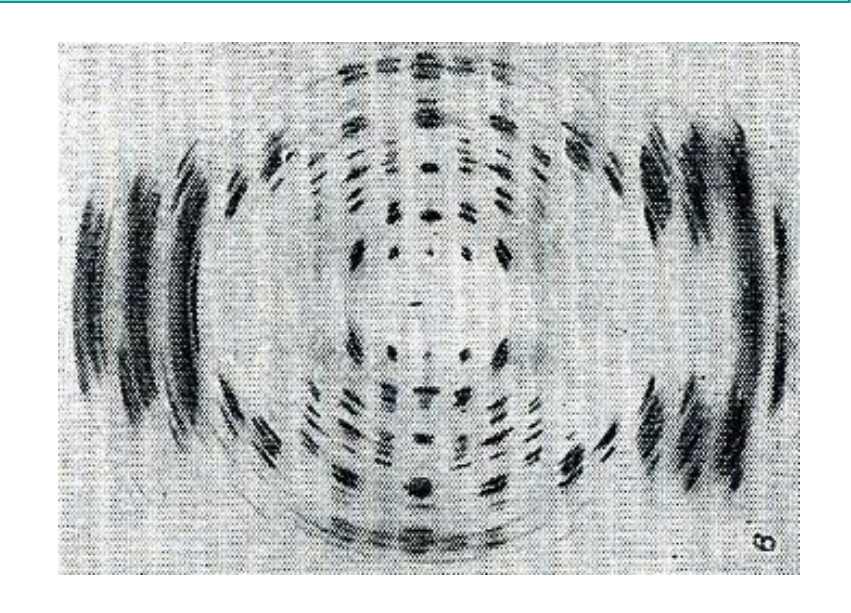
## Другие типы кристаллических структур



# Методы определения кристаллической структуры Рентгеновская дифракция

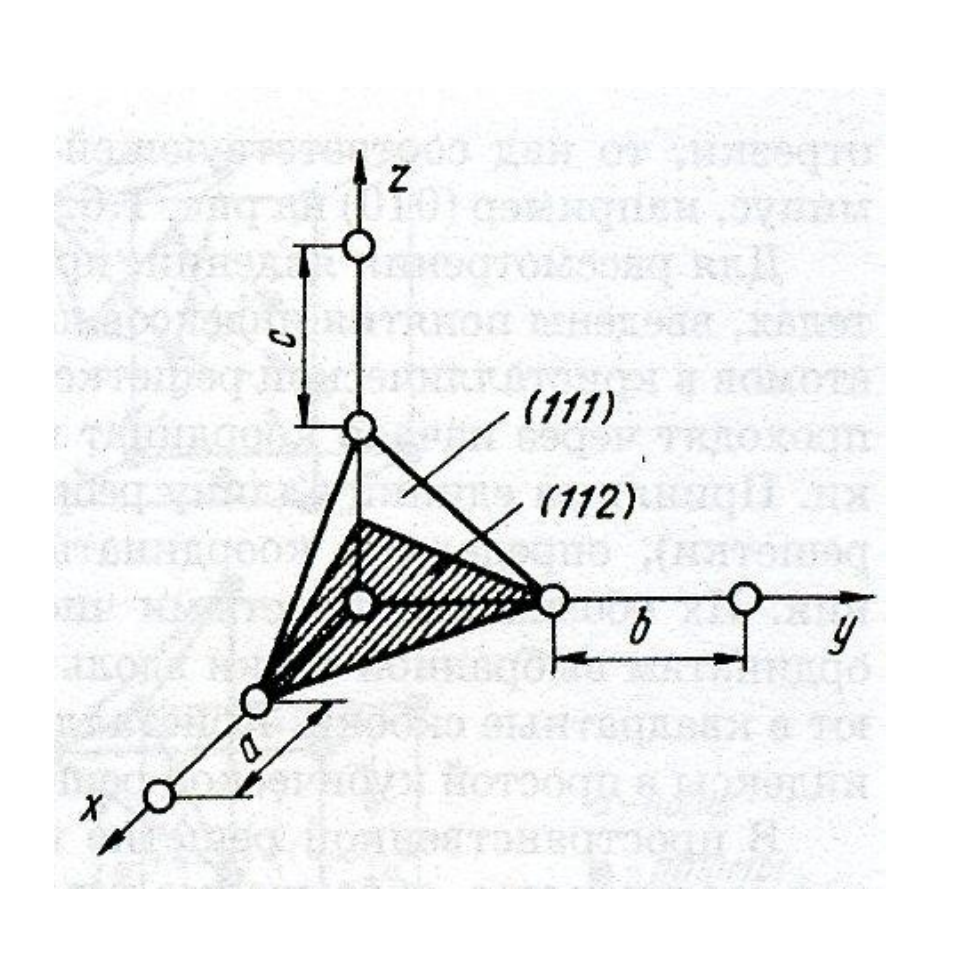


Аморфное ацетат целлюлозы



Кристаллическое ДНК

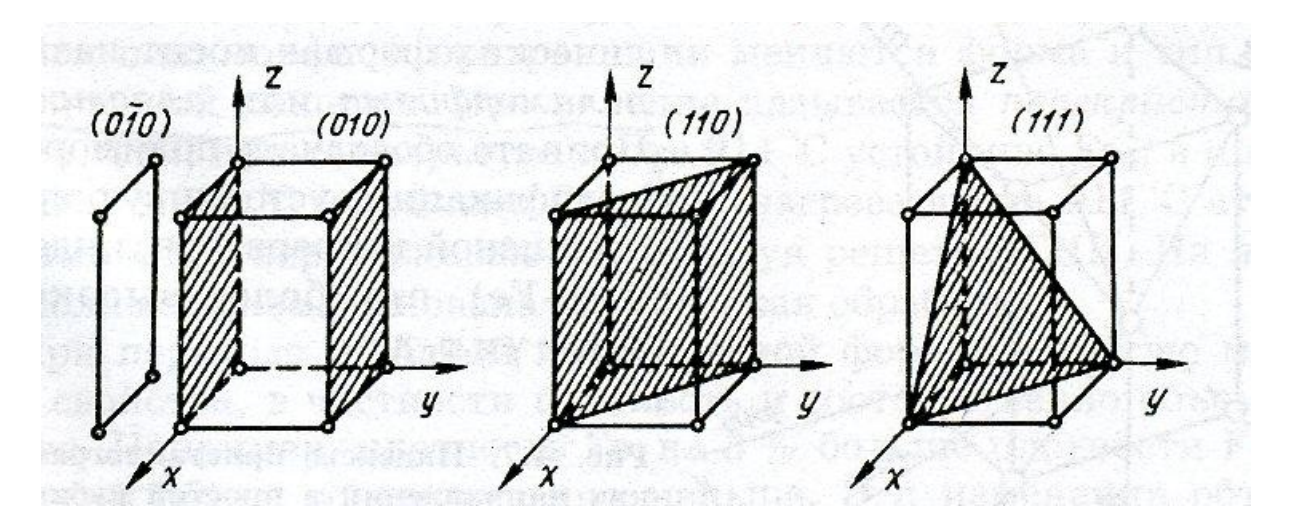
# Индексы Миллера — отрезки, которые плоскость, отсекает внутри элементарной ячейки



Плоскость (111)
пересекает оси XYZ
на расстояниях **1,1,1**единичных расстояний

Плоскость (112)
пересекает оси XYZ
на расстояниях **1,1,1/2**единичных расстояний

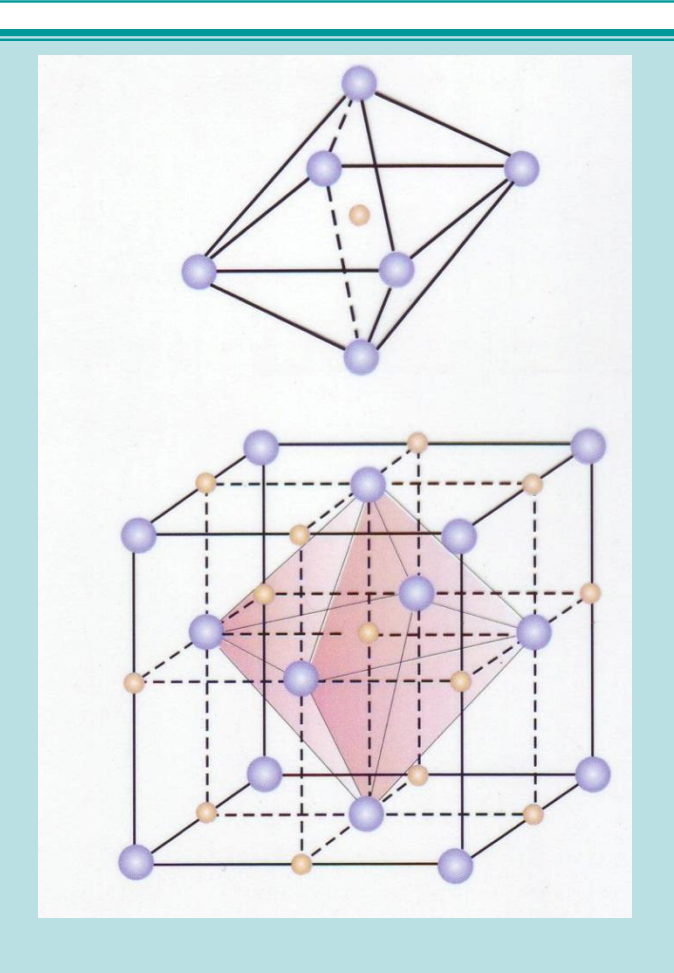
## Пример графического изображения плоскостей



- В кристаллографии за индексы плоскостей принято брать **обратные значения** индексам Миллера
- Плоскости (010), (110), (111) и (0 Ī 0)

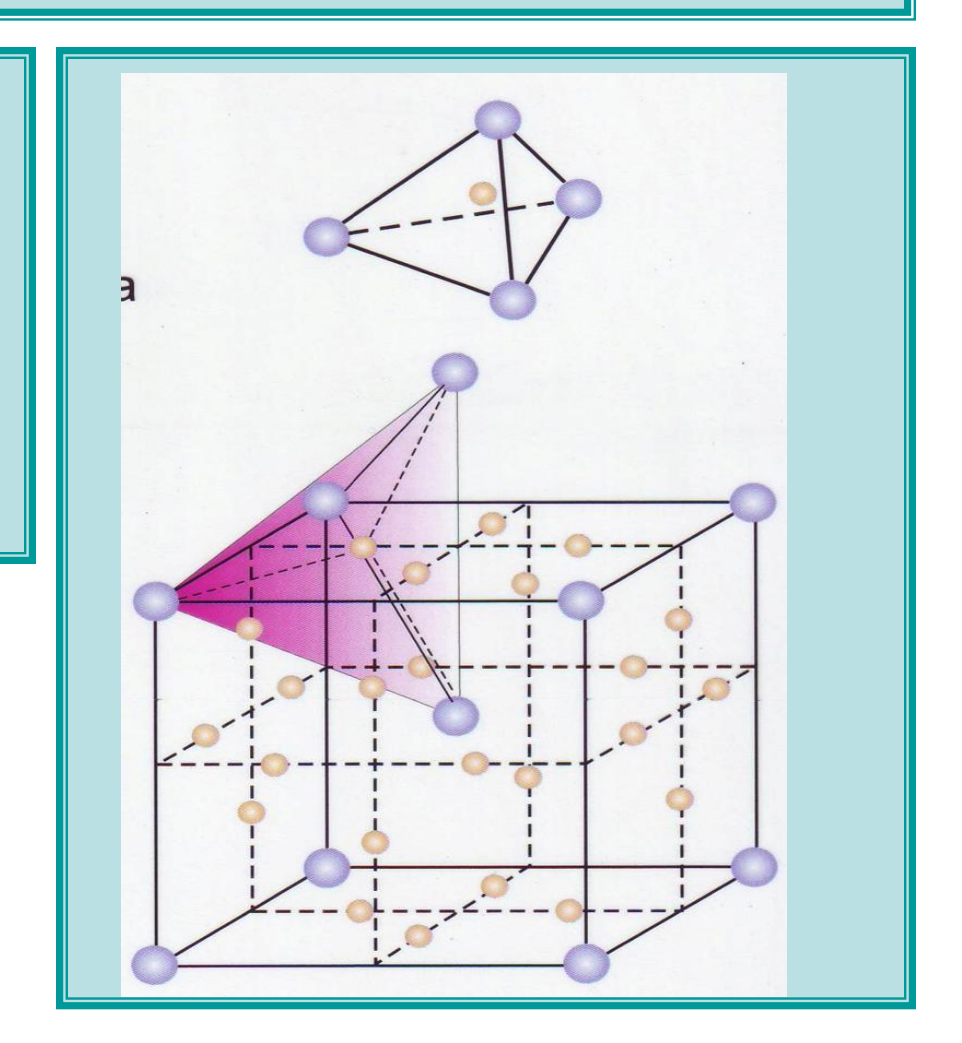
#### Поры в кристаллических структурах

Октаэдрическая пора В ГЦК -решетке



#### Поры в кристаллических структурах

Тетраэдрические поры в ОЦК решетке



# Дефекты строения

кристаллических тел

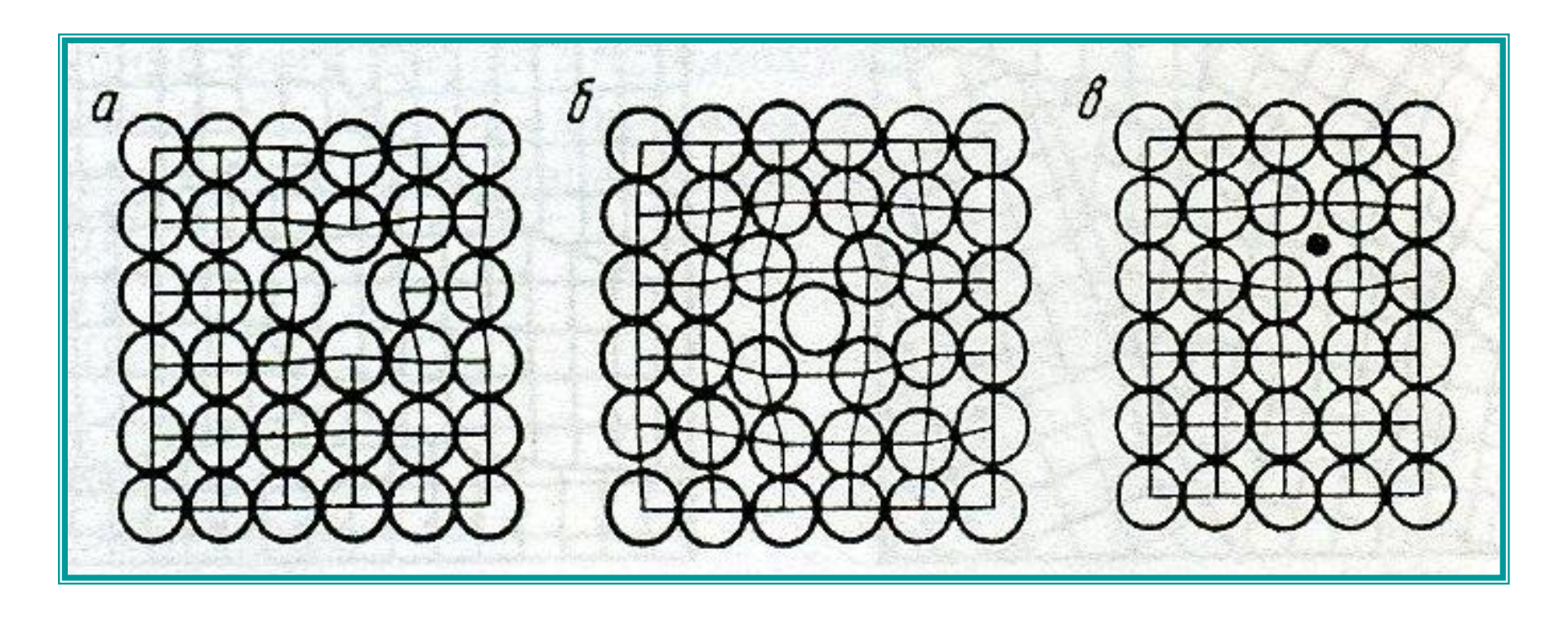
#### Точечные дефекты:

- вакансии (дефекты Шоттки)
- атомы, сместившиеся из узлов решетки в межузельные промежутки (дефекты Френкеля)
- атомы других элементов, находящиеся как в узлах, так и в междоузлиях решетки – (примесные атомы)

Точечные дефекты в кристаллической решетке: а) вакансия

б) дефект смещения

в) дефект внедрения



## Линейные дефекты

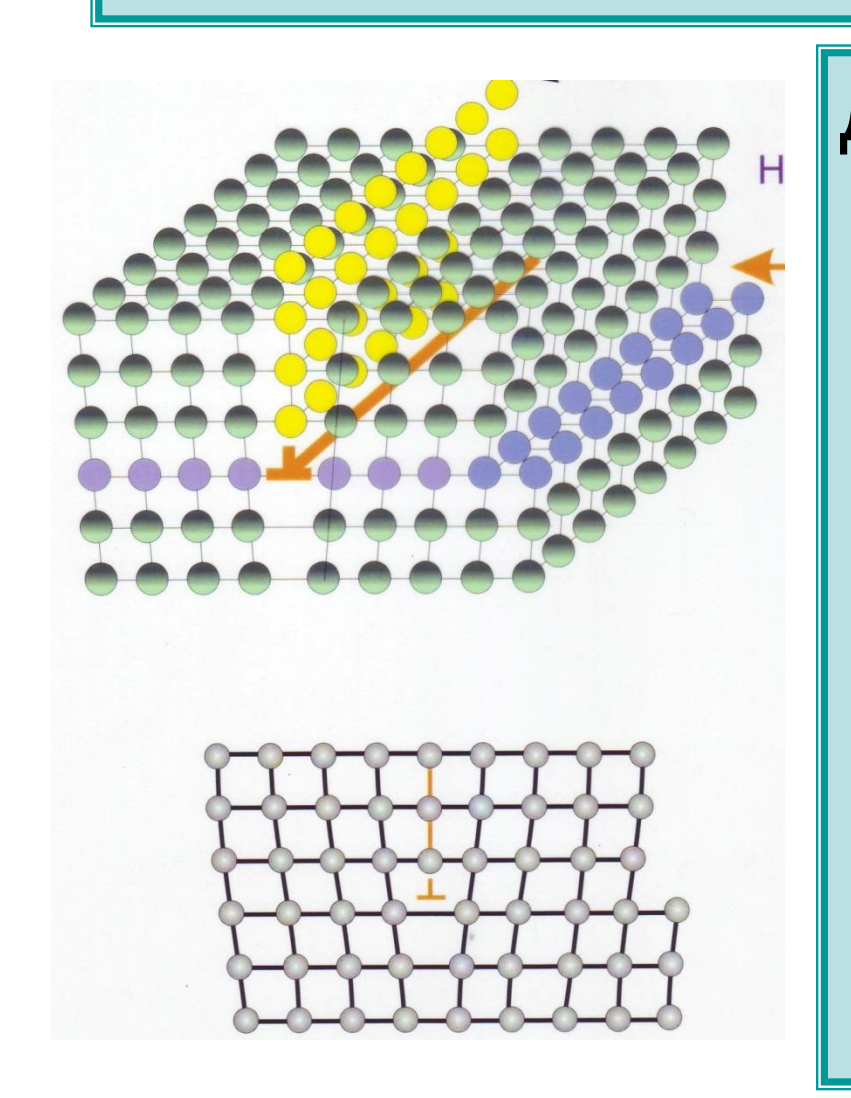
Линейные дефекты имеют малые размеры в двух направлениях, но значительную протяженность в третьем измерении.

#### Дислокация

(лат. dislocation - смещение) Обозначение - т или <sup>⊥</sup>

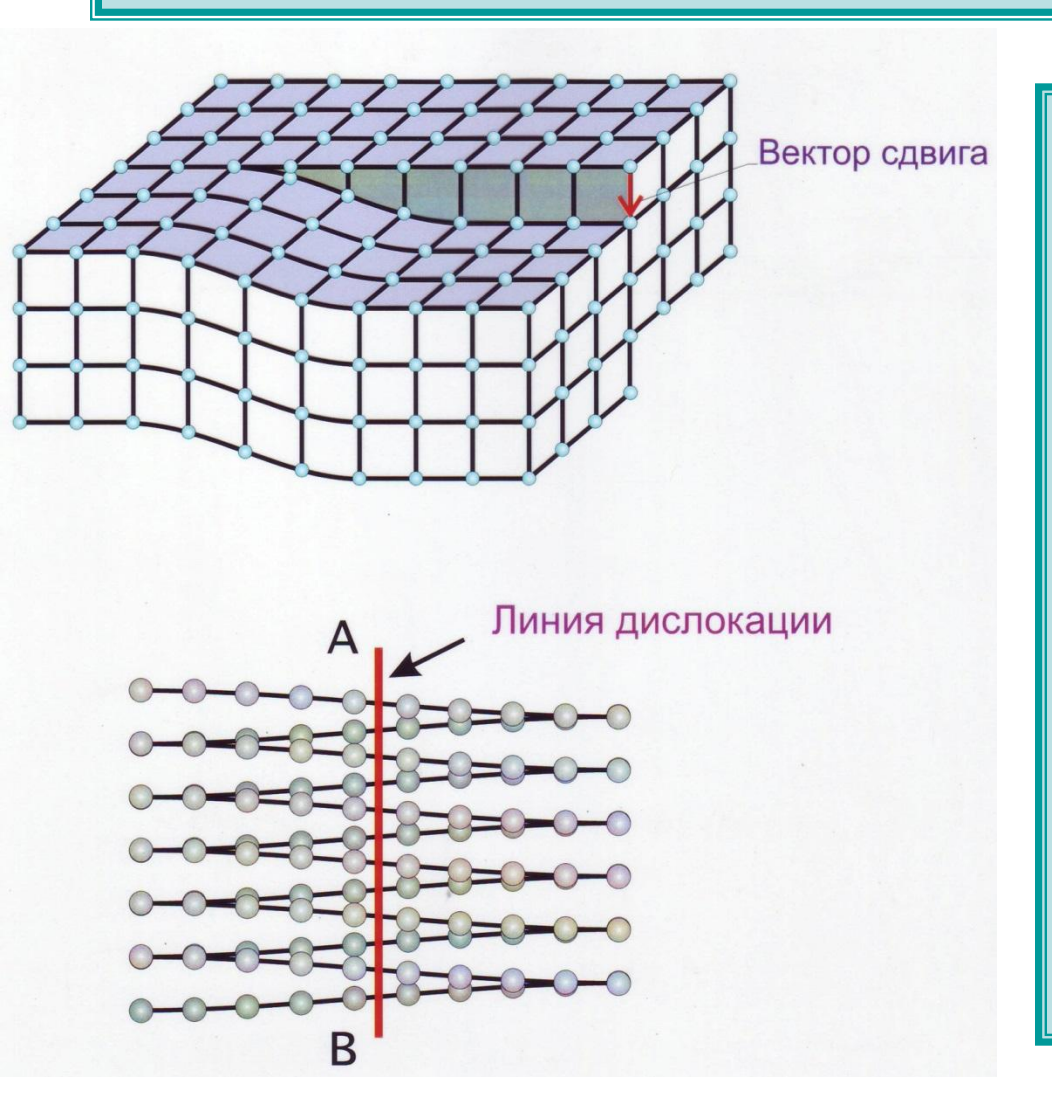
**Дислокации** обнаружены с помощью электронного микроскопа

#### Краевая дислокация



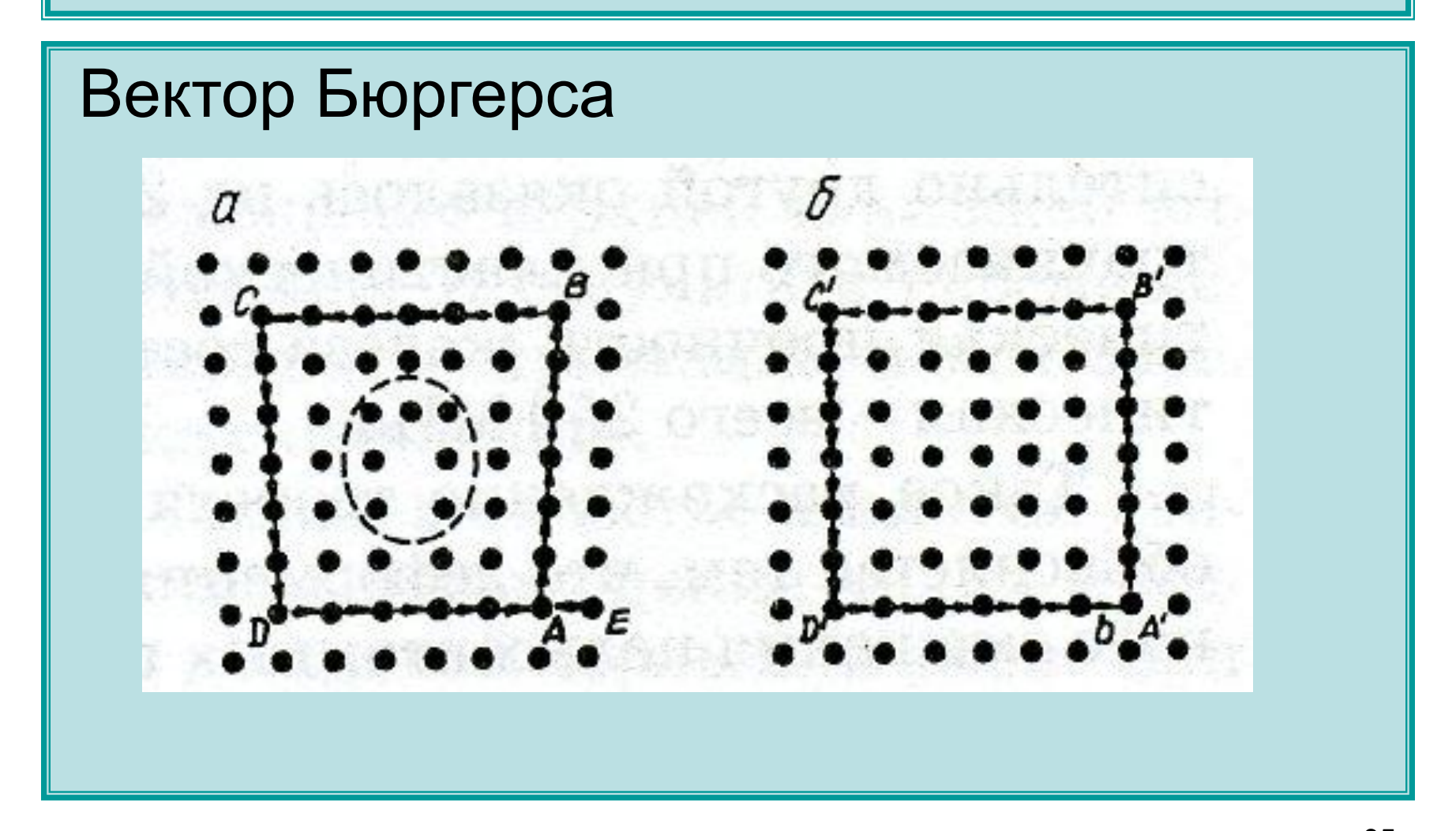
Для краевой дислокации характерно наличие одной «лишней» полуплоскости Нижний ее край – линия дислокации

#### Винтовая дислокация



Возникают путем сдвига атомных слоев по плоскости **Q**, AB – линия дислокации

# Количественная характеристика искажений структуры кристаллов



Вектор Бюргерса может быть получен, если, переходя от узла к узлу, обвести замкнутый контур в кристалле, заключив дислокацию внутрь контура

Участок ВС состоит из шести отрезков, а участок DA из пяти.

Разница BC – DA = b, где b – величина вектора Бюргерса Вектор Бюргерса **краевой дислокации** равен межатомному расстоянию и **перпендикулярен** линии дислокации.

Вектор Бюргерса винтовой дислокации равен межатомному расстоянию и параллелен линии дислокации

## Металлы делятся на группы

- Легкие металлы (Mg, Al, Be, Ti) плотность менее 5 г/см<sup>3</sup>
- Тяжелые металлы (Pb, Mo, Ag, Au, Pt, W, Ir, Os) плотность более 10 г/см<sup>3</sup>
- Легкоплавкие (Sn, Pb, Zn) Тпл=232,327,410°C
- Тугоплавкие (W, Mo, Nb, Ta) Тпл =выше 1536°
   С
- Благородные (Au, Ag, Pt)
- Урановые (актиноиды)
- Редкоземельные
- Щелочные (Na, K, Li, Ca)

## Прочность материалов

#### Единицы измерения

 $\sigma = 1 \Pi a = 1 H/m^2 (\Pi a c к a л ь) 1 H = 0,0981 к г$ 

10 <sup>6</sup> МПа (мега - Паскаль)

10 <sup>9</sup> ГПа (гига - Паскаль)

#### Прочность

Теоретическая Реальная

Железо 13 000 MПa 350 MПa

Графит 125 000 МПа 2500 МПа

Полиэтилен 25 000 МПа 50 МПа

# Влияние дефектности кристалла на его прочность



Плотность дислокаций

### Деформация материалов



**Упругая** деформация исчезает после снятия нагрузки.

Остаточная (пластическая)

деформация сохраняется после снятия нагрузки.

 $\sigma_{_{\rm R}}$  – временное сопротивление

 $\sigma_{\scriptscriptstyle\perp}$  - предел текучести

 $\sigma_{\rm v}$  – предел упругости

$$\sigma = \varepsilon E$$

$$\varepsilon = \Delta L/L_0$$
;  $\Delta L = L_{\kappa} - L_0$ 

**Е** - модуль упругости (модуль Юнга)

### Твердость материалов

По Бриннелю – вдавливание в тело шарика диаметром D под действием постояноой нагрузки P и измерении диаметра отпечатка d

Число твердости по Бриннелю (НВ) – величина нагрузки *P*, деленной на диаметр отпечатка *d* 

#### Твердость по Бриннелю

Метод заключается во вдавливании стального шарика диаметром D в поверхность образца под действием нагрузки P, приложенной в течении определенного времени. После снятия нагрузки измеряют диаметр отпечатка d, остающийся на поверхности образца.



#### Схема определения твердости по Бринеллю

**Индентор** - стальной закаленный шарик диаметром **D**, равным 10, 5 или 2,5 мм

**Нагрузка -** от 2,5D<sup>2</sup> до 30D<sup>2</sup> (кгс)

Время выдержки под нагрузкой - 10, 30 или 60 секунд..

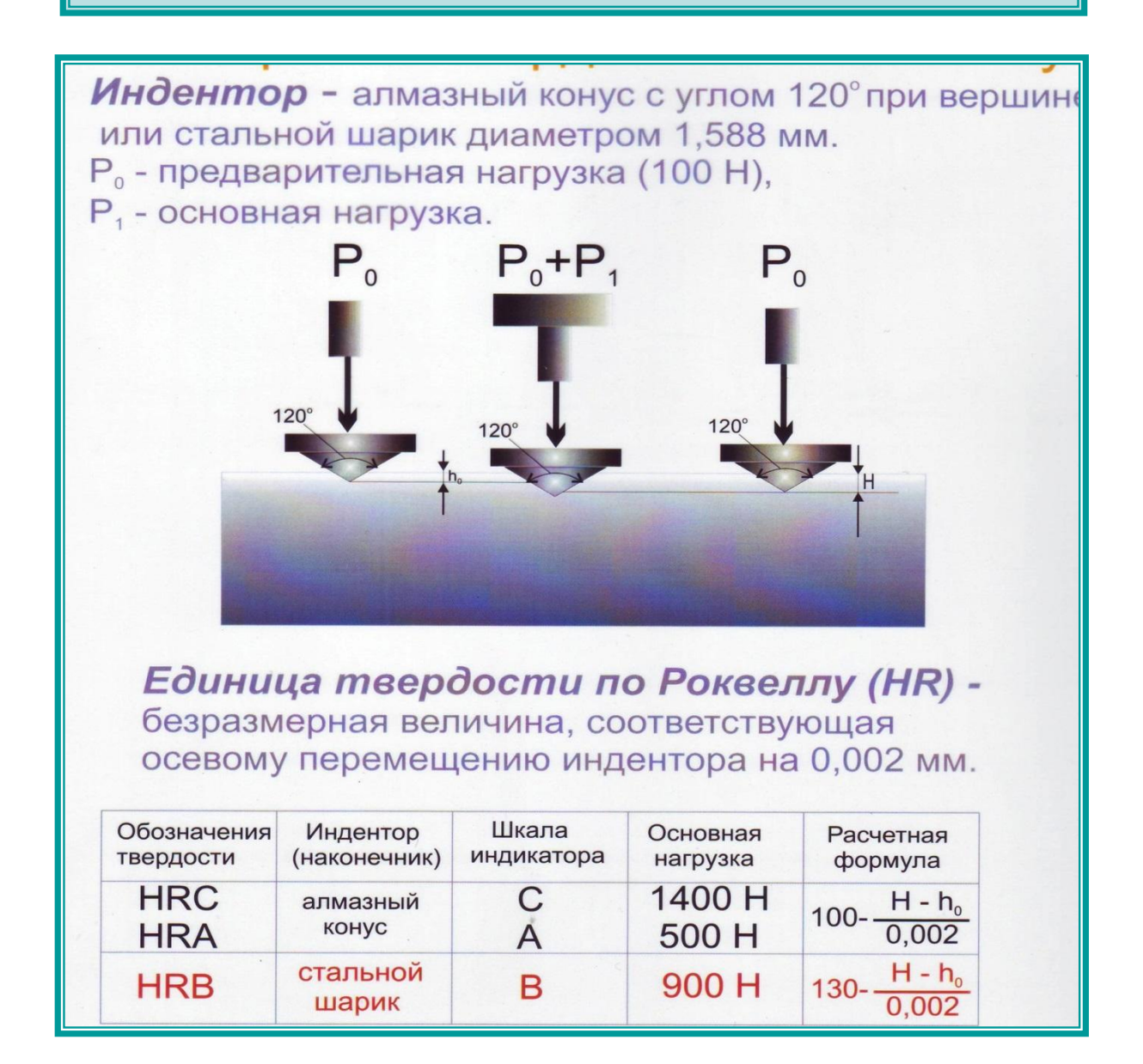
**Число твердости по Бринеллю (НВ) -** отношение нагрузки к площади поверхности сферического отпечатка  $F_{orn}$ :

$$HB = \frac{P}{F_{otn}} = \frac{2P}{\pi D(D - \sqrt{D^2 - d^2})}$$

#### Твердость материалов

По Роквеллу –вдавливание алмазного конуса или шарика. Измеряется двумя последовательными нагружениями. Первое нагружение  $P_0 = 100 \text{ H}$ Второе нагружение - три шкалы шкала C  $P_1 = 1400 H$ , твердость HRCшкала A  $P_{1}$  = 500 H, твердость HRAшкала B  $P_{\star}$  = 900 H, твердость HRB

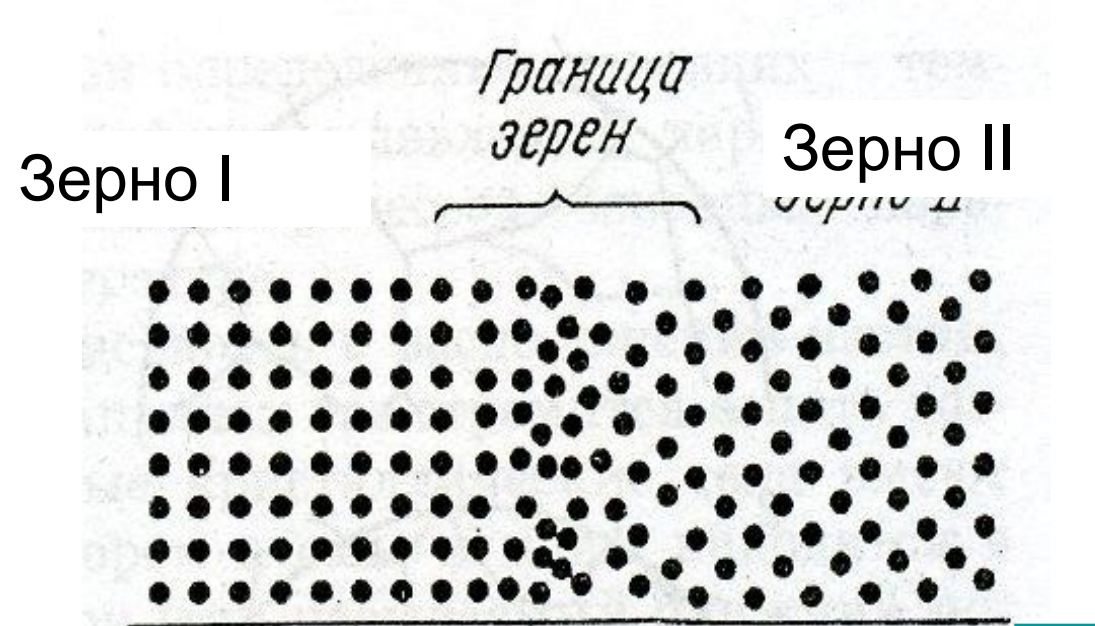
#### Твердость по Роквеллу

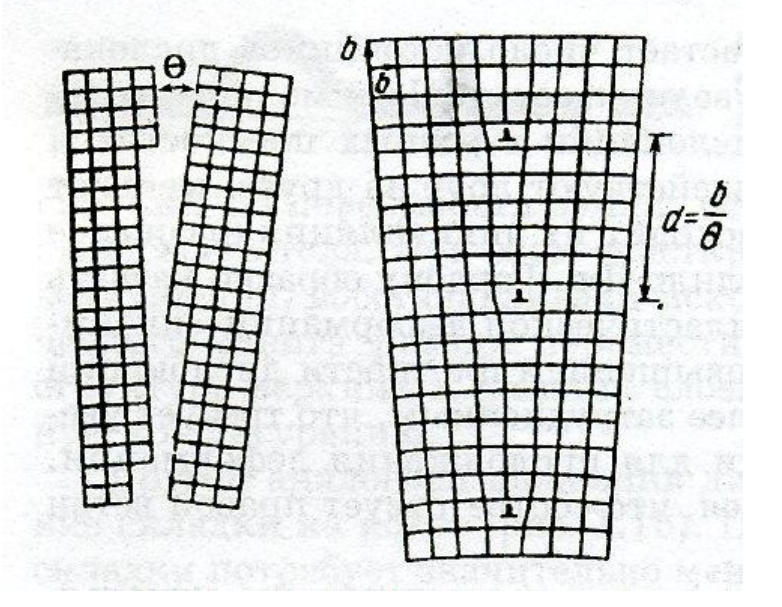


# Строение металлов и сплавов

- Поликристаллический сплав состоит из зерен
- В соседних зернах кристаллиты имеют разную ориентацию
- Границы зерен переходный слой размером 1 – 5 нм
- Каждое зерно состоит из субзерен или блоков
- Субзерно часть кристалла относительно правильного строения

#### Строение зерен и блоков





Зерна с различной ориентацией и граница между ними Размер 30 – 0.1 мкм

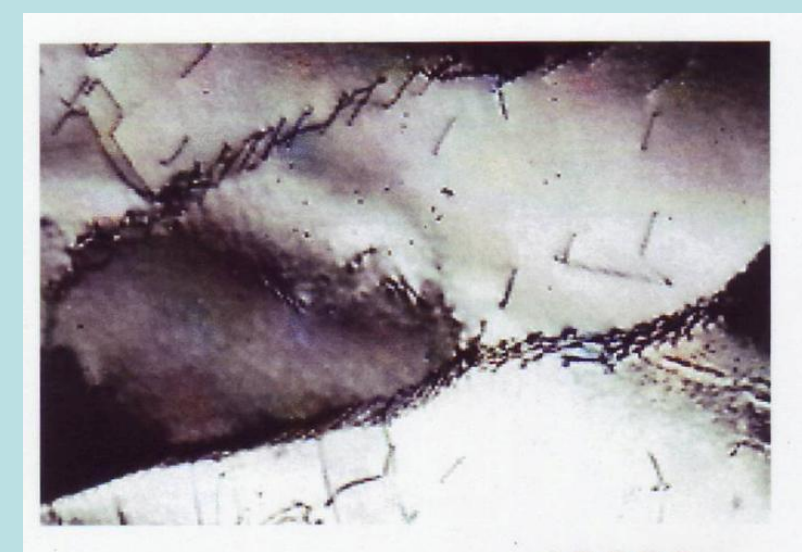
Блоки повернуты

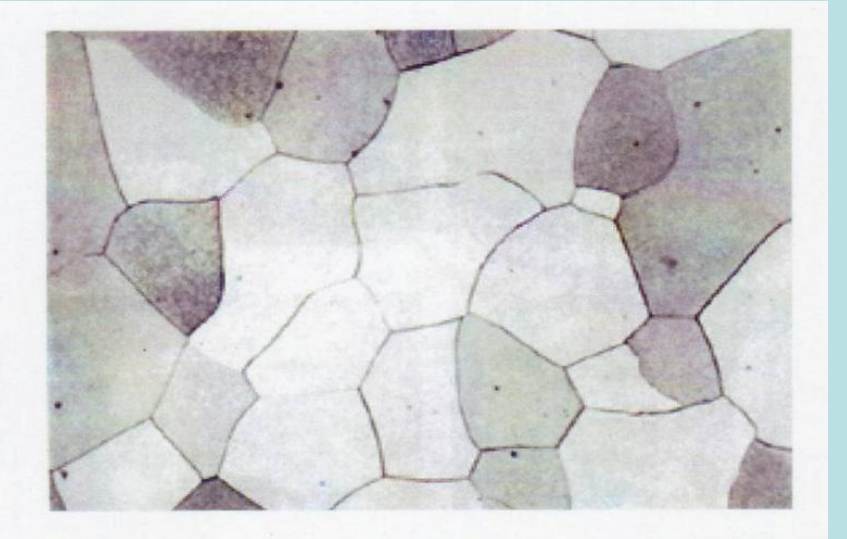
Угол  $\Theta = 5$ " - 50 '

Размер 0.1 мкм

#### Строение металлов и сплавов

### Структура железа

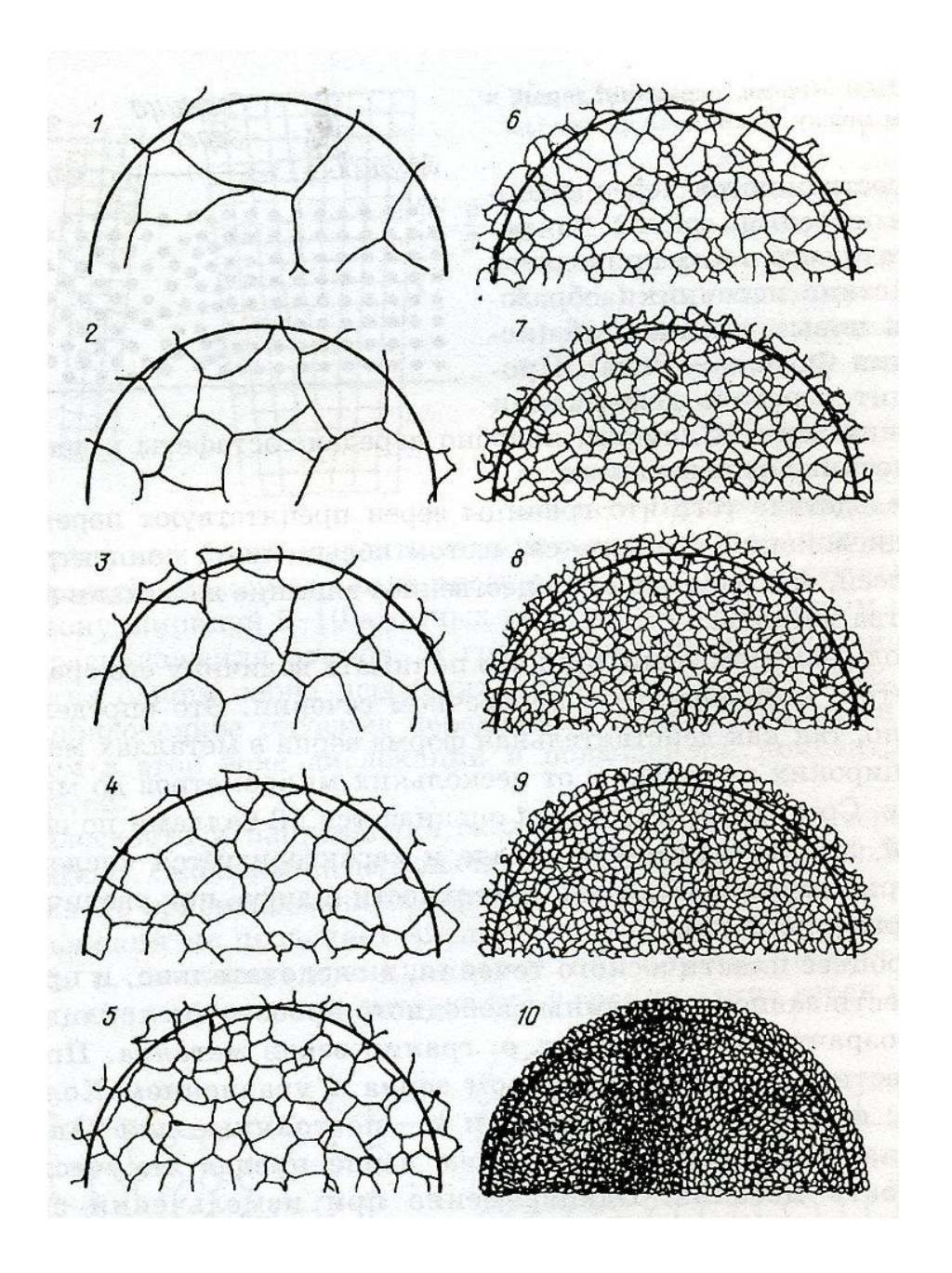




x 10000

x 250

Малоугловые и большеугловые границы в  $Fe_{\alpha}$ 



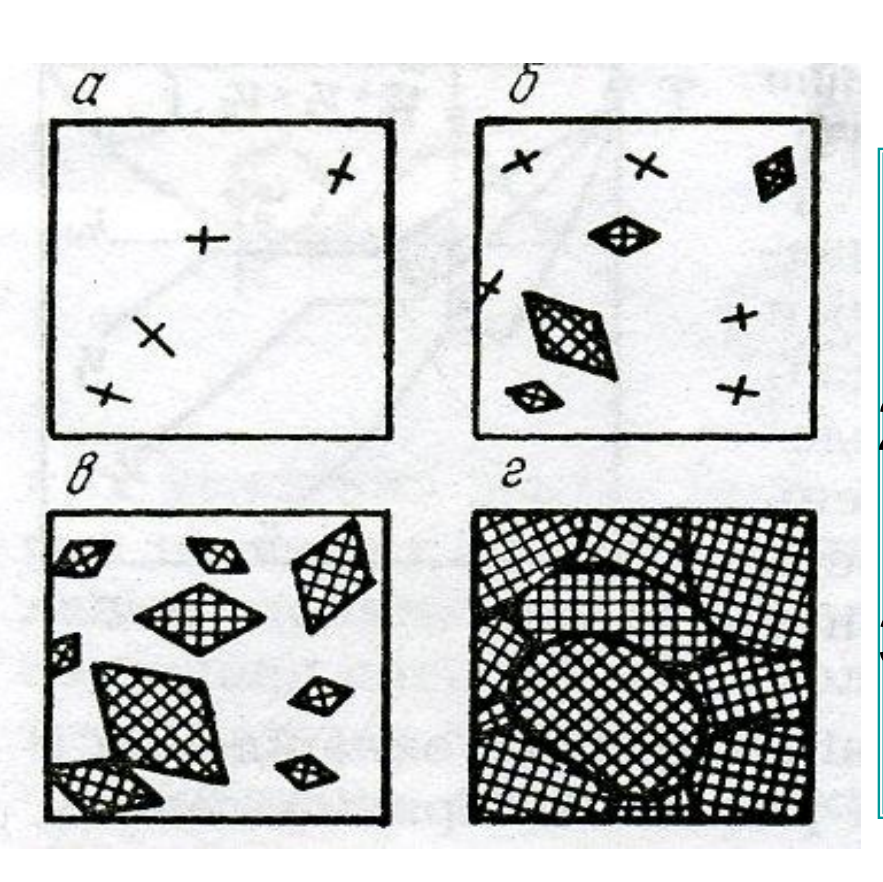
Шкалы для определения величины зерна

### Плавление и кристаллизация

- По мере повышения температуры увеличивается подвижность атомов
- Атомы вырываются из узлов решетки
- Образуется жидкая фаза

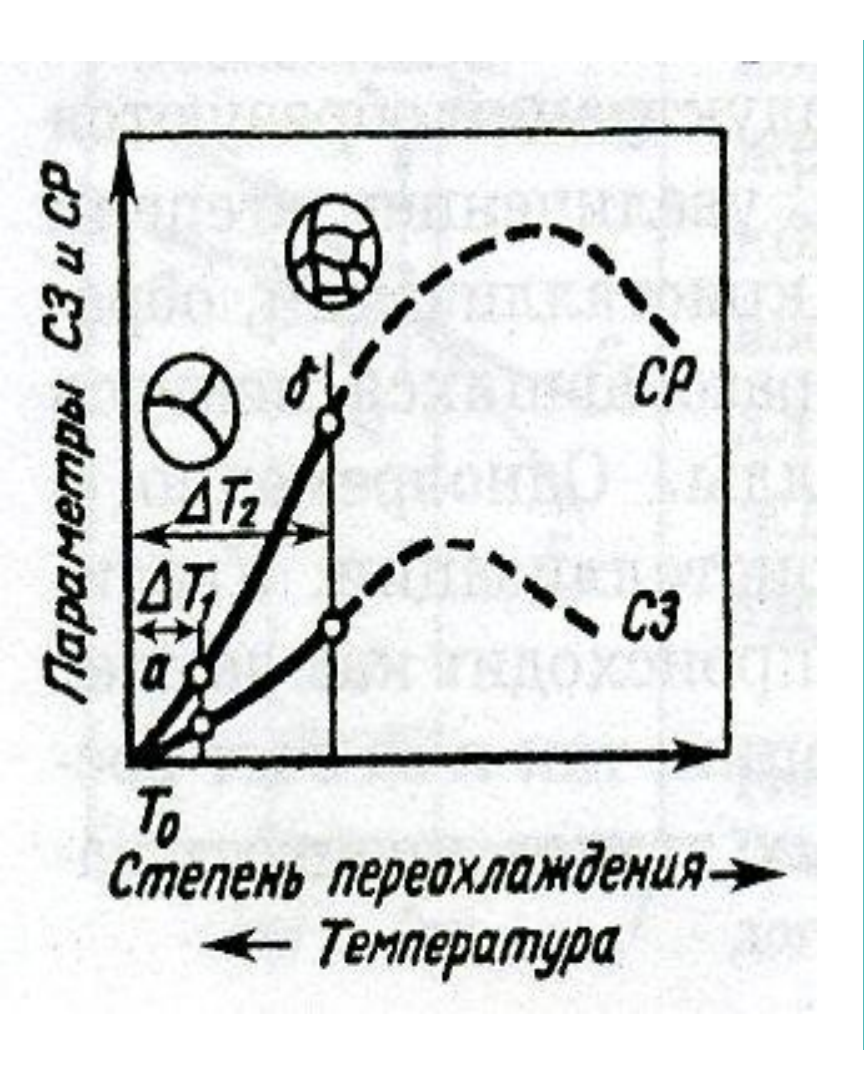
Вещество	T пл. <sup>0</sup> С
Ртуть (Hg)	- 39
Олово (Sn)	232
Алюминий (AI)	660
Железо (Fe)	1536
Вольфрам (W)	3410

#### Механизм кристаллизации



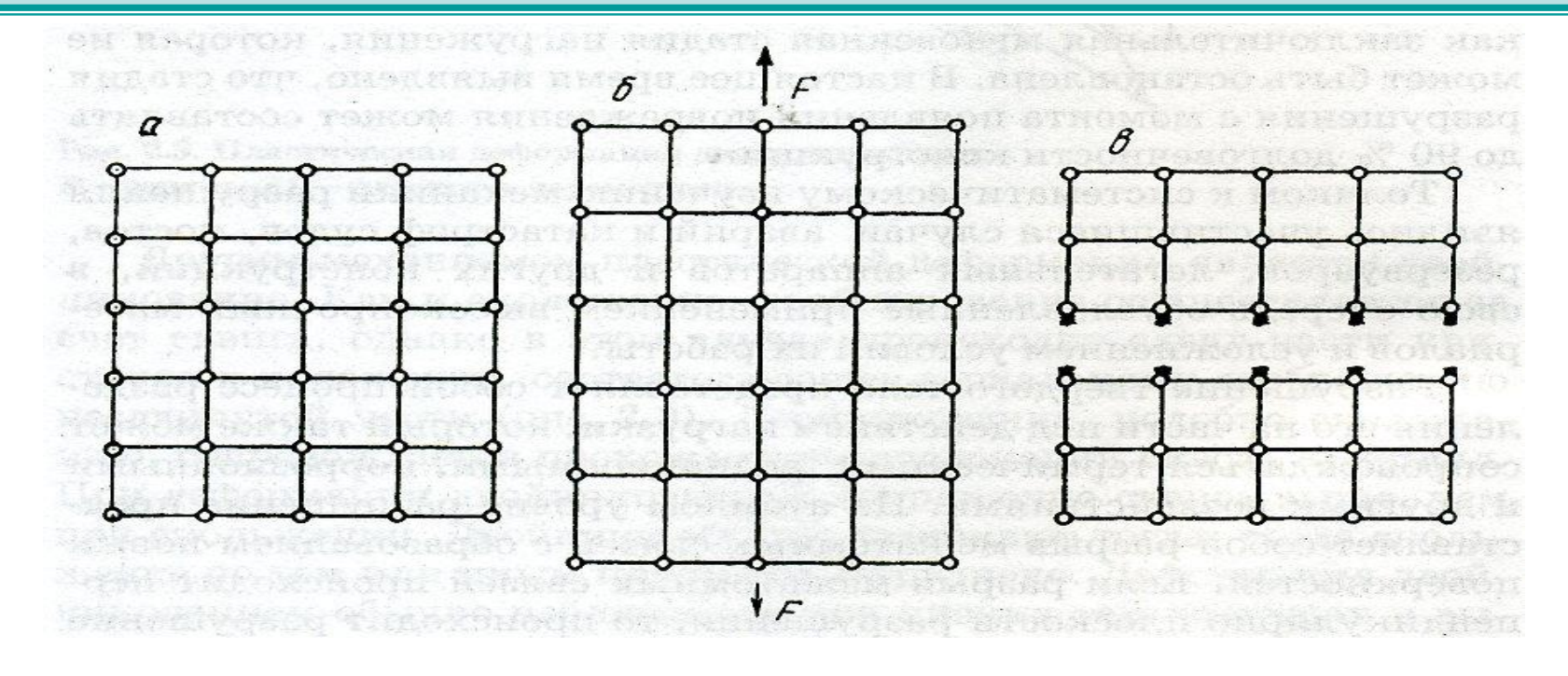
- Зарождение центров кристаллизации
- Увеличение концентрации центров
- Рост кристаллов из этих центров

#### Механизм кристаллизации



- Скорость кристаллизации определяется скоростью охлаждения
- Если ∆ Т = 0
   равновесный процесс,
   кристаллы
   максимального размера
- Если ∆ Т> 10 <sup>6</sup> °C/с высокая скорость охлаждения металл аморфный

# Деформация и разрушение материалов



- а) исходное состояние
- б) упругая деформация
- в) хрупкое разрушение

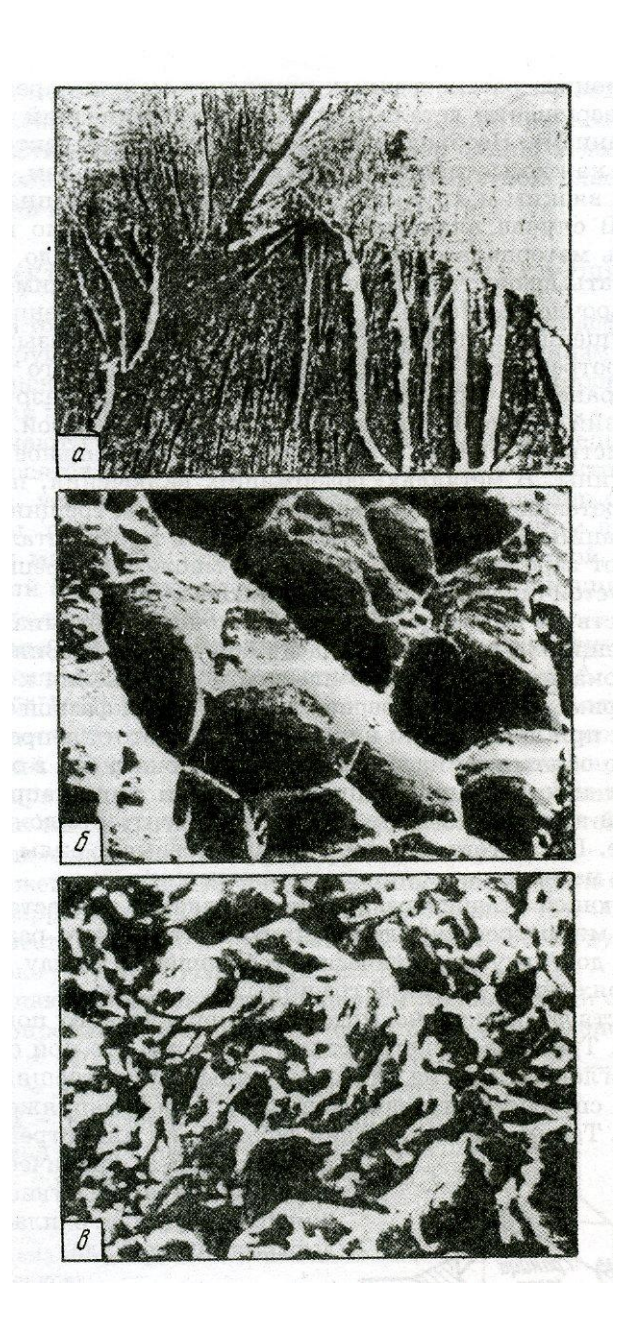
#### Разрушение материалов

**Разрушение** – процесс кинетический. Зависит от времени, нагрузки, температуры, структуры

#### Теория разрушения С.Н.Журкова:

- разрыв химической связи
- образование субмикротрещин (нанометры)
- рост концентрации субмикротрещин
- образование магистральной трещины

**Хрупкое разрушение** - плоскость разрушения перпендикулярна нормальным напряжениям **Вязкое разрушение** происходит путем сдвига под действием касательных напряжений



#### Разрушение материалов

- а) хрупкий излом
- б) вязкий излом
- в) квазихрупкий излом

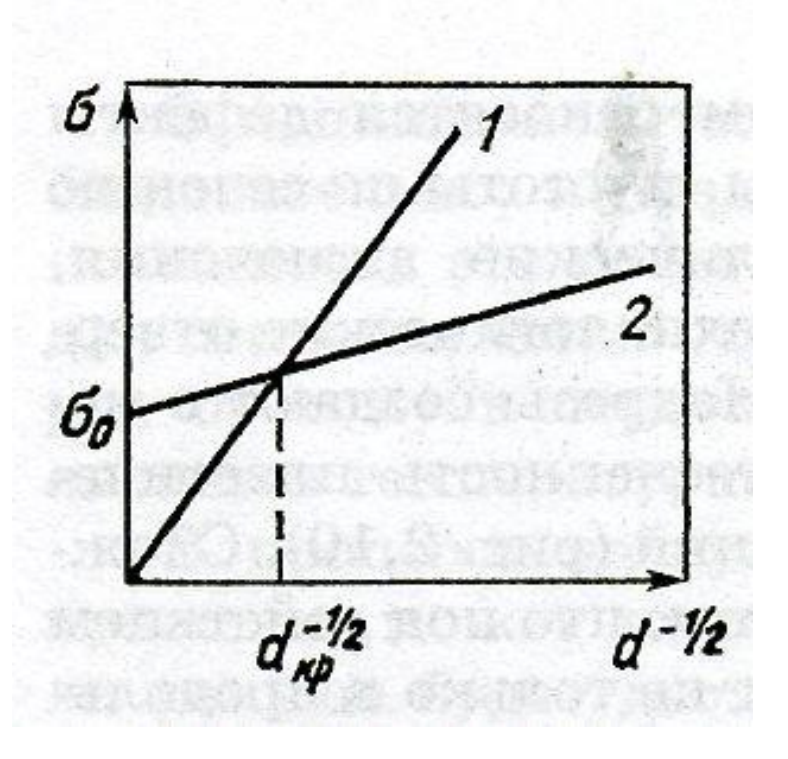
# Факторы, влияющие на характер разрушения материалов

#### Температура

Температура вязко-упругого перехода или температура хрупкости Т, - температура, при которой предел текучести равен разрушающему напряжению

Хладоломкость - способность материала хрупко разрушаться при пониженных температурах

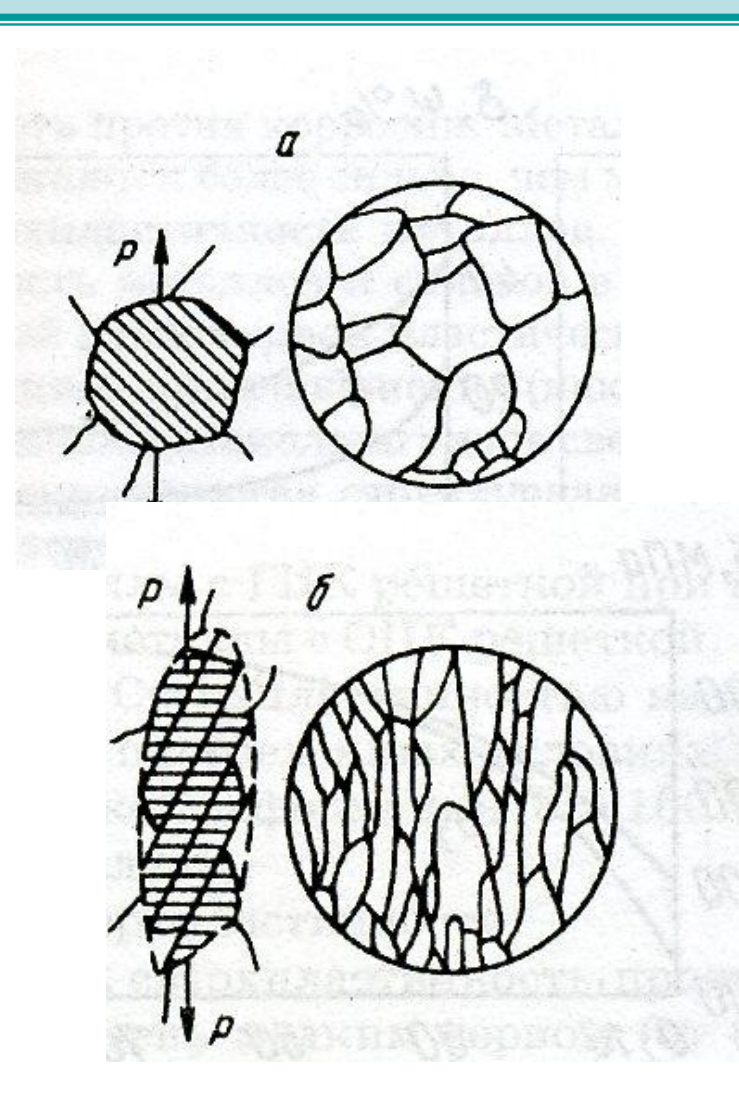
# Внутренние факторы, влияющие на характер разрушения материалов



- кристаллическое строение - ОЦК
- размер зерна

Зависимость разрушающего напряжения (1) и предела текучести (2) от размера зерна

# Факторы, влияющие на характер разрушения материалов

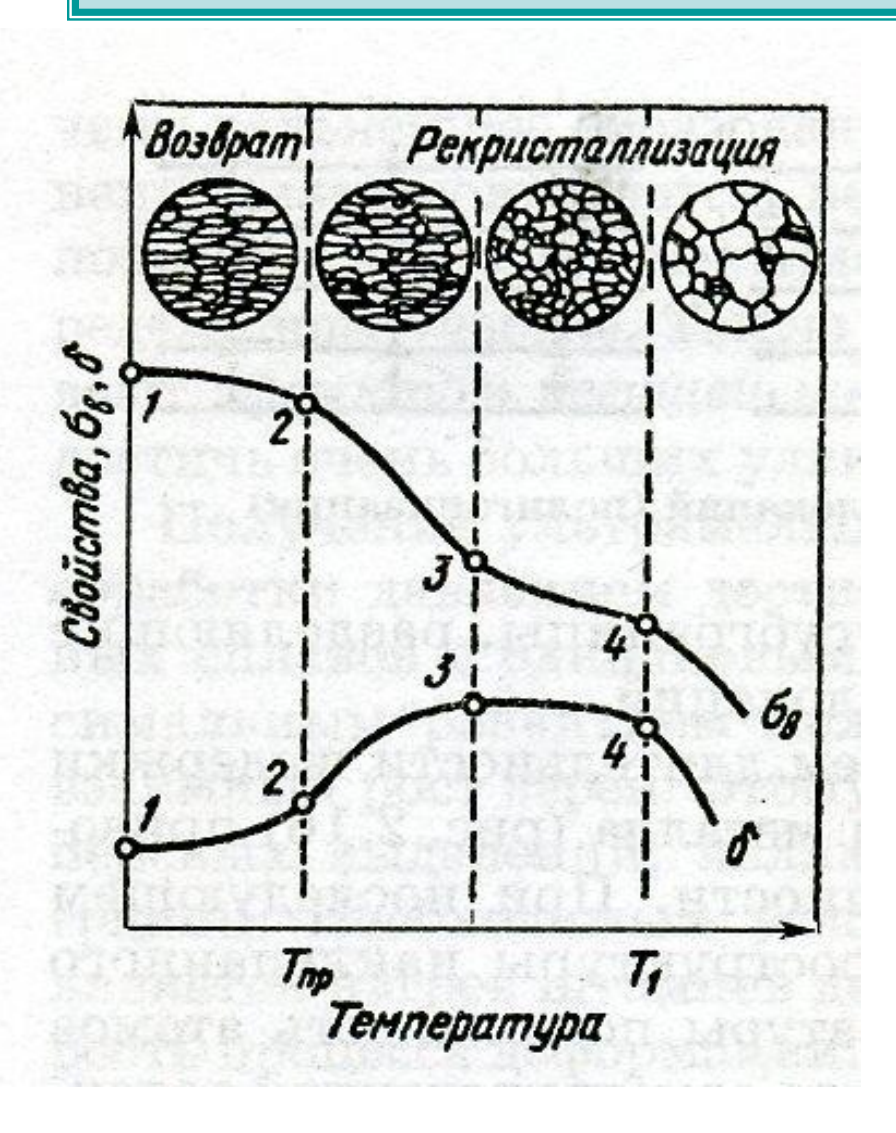


Упрочнение металлов под действием пластической деформации - наклеп

Зерна меняют свою форму и ориентацию

Текстура – преимущественн ая ориентация

### Факторы, влияющие на характер разрушения материалов



- Возврат уменьшение искажений кристаллической решетки
  - Рекристаллизация

     образование

    новых равноосных

    зерен

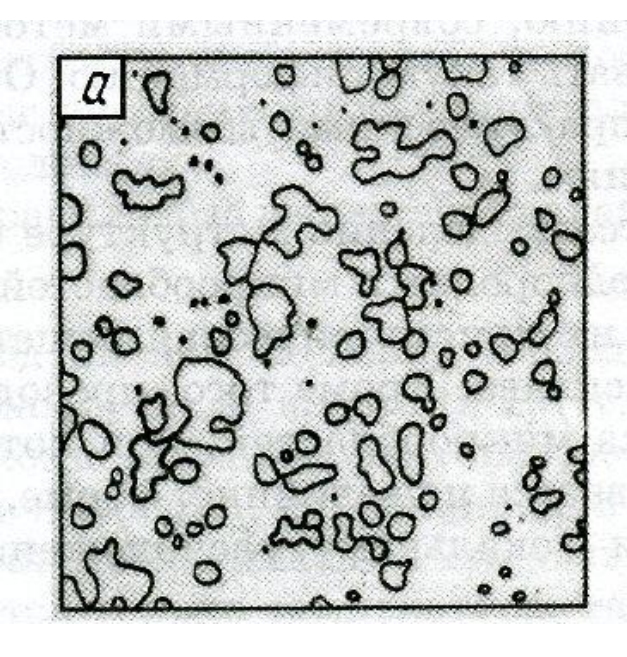
# Температурные режимы обработки металлов

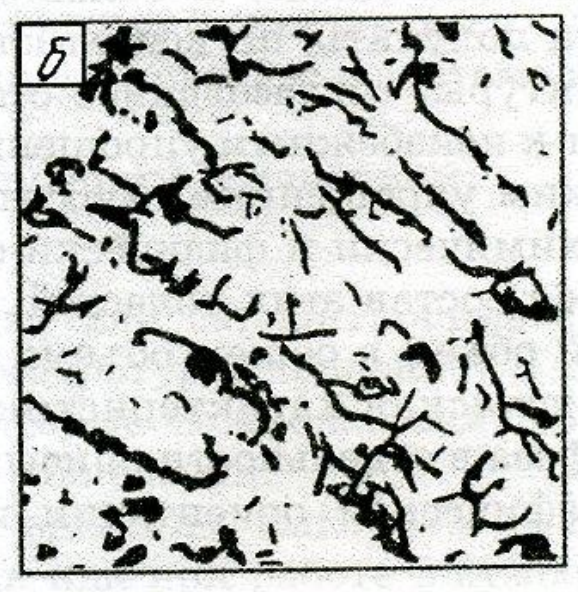
Металл	Плавление	Рекристаллизация	Рекристаллиза- ционный отжиг	Горячая обработка давлением
Молибден	2620	900	1400-1600	2000-1400
Титан	1672	500	650-750	1150-800
Железо	1536	450	650-750	1300-800
Медь	1083	270	500-600	900-650
Алюминий	660	100	350-400	500-400
Свинец	327	-30		granda a <del>ll</del> a giadi
Олово	232	-70		
	A. L. A. 101	13 personal marriages	no mediment a peti ser	10 to

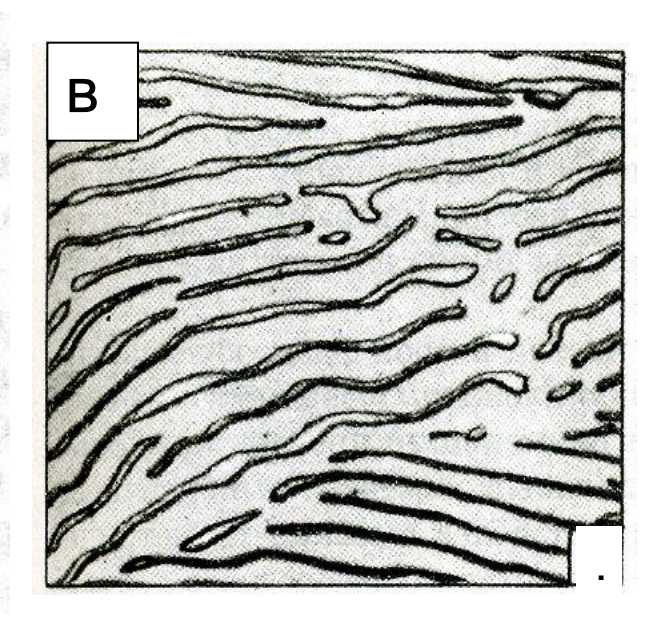
#### Строение и свойства сплавов

- Сплав сложное вещество, состоящее из нескольких элементов
- Фаза однородная часть сплава (состав, свойства, структура – одинаковы)
- Компоненты сплава образуют:
  - механические смеси
  - химические соединения
  - твердые растворы

#### Строение и свойства сплавов



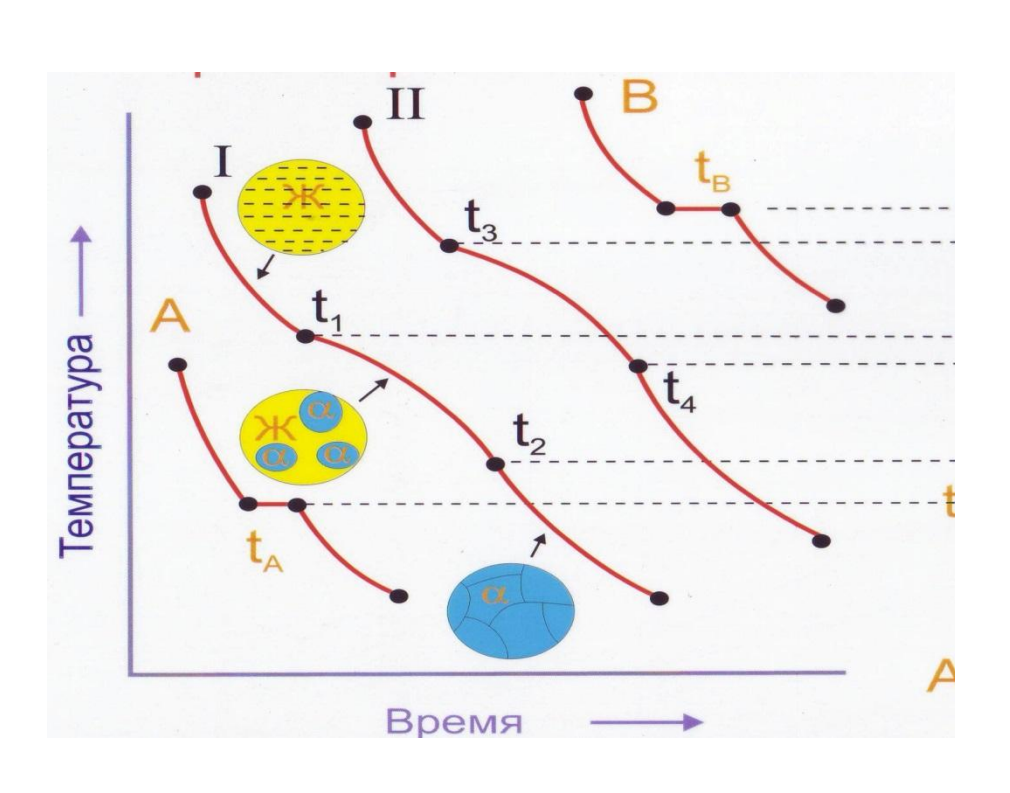


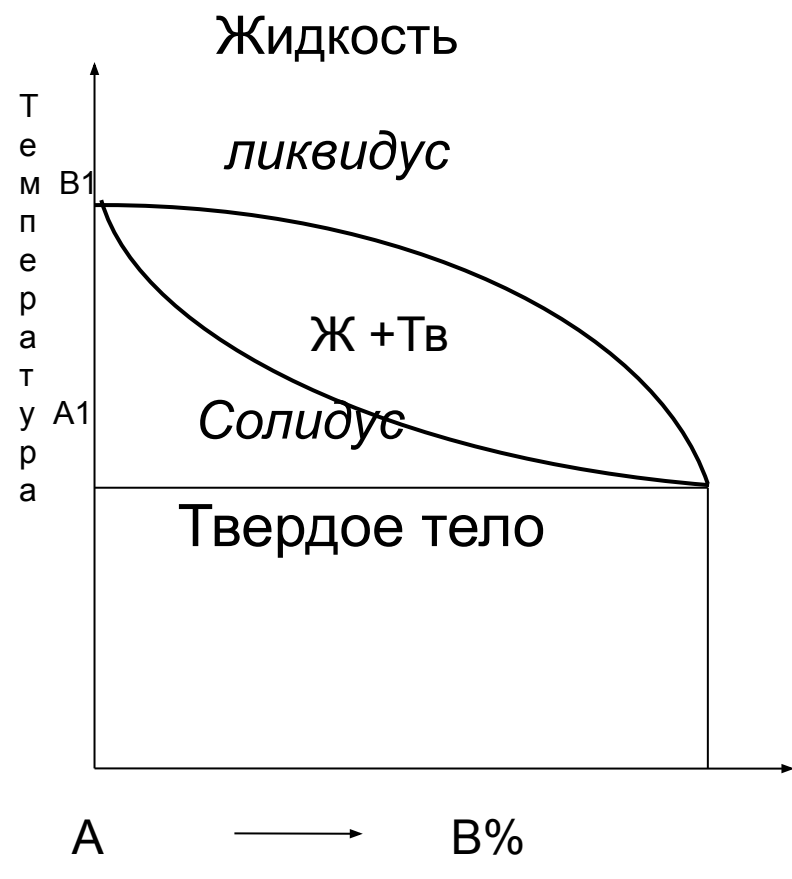


#### Форма частиц второй фазы:

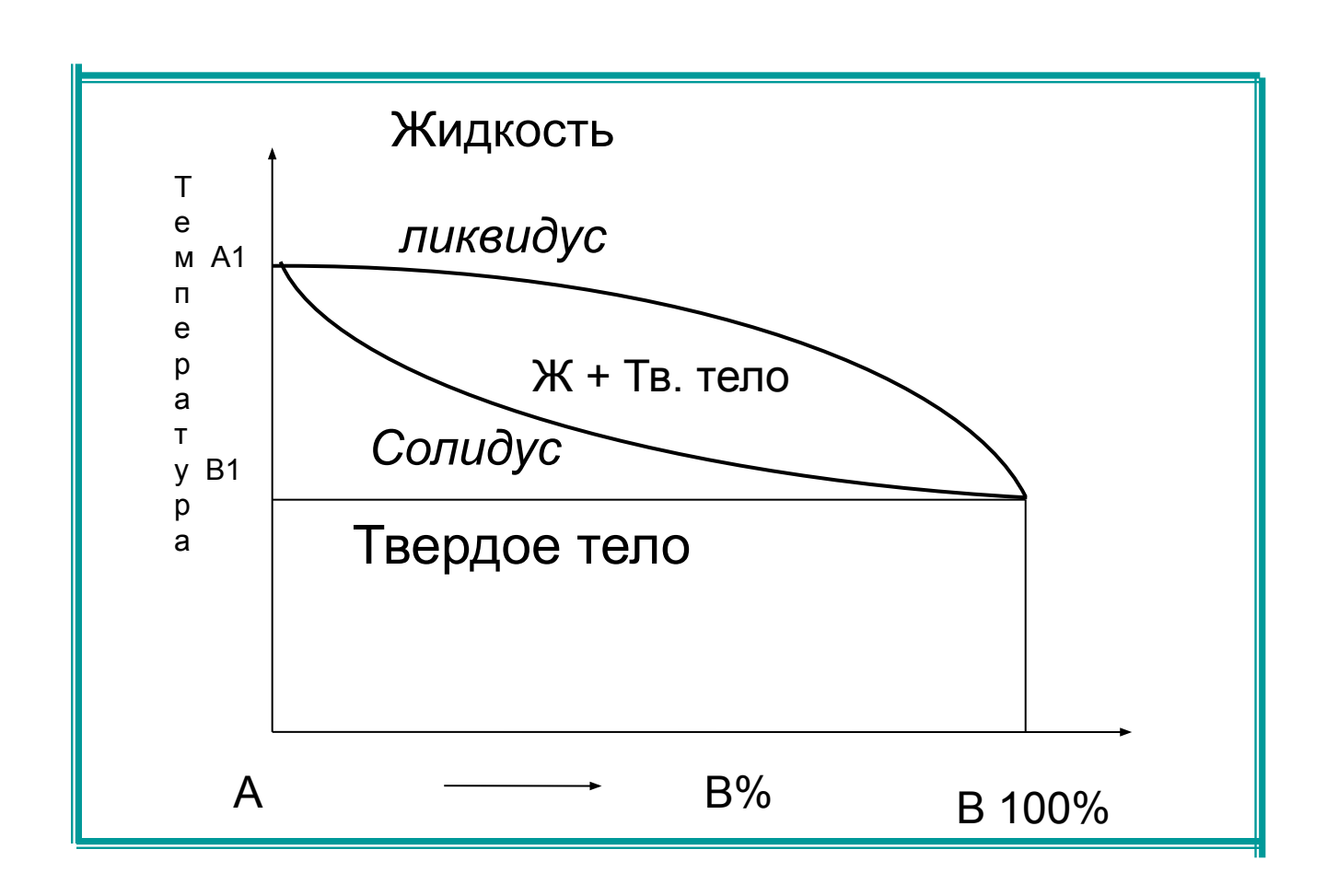
- а) карбиды инструментальных сталях
- б) пластинчатый графит в сером чугуне
- в) пластинчатый перлит

# Диаграмма состояния сплавов с неограниченной растворимостью компонентов в твердом состоянии

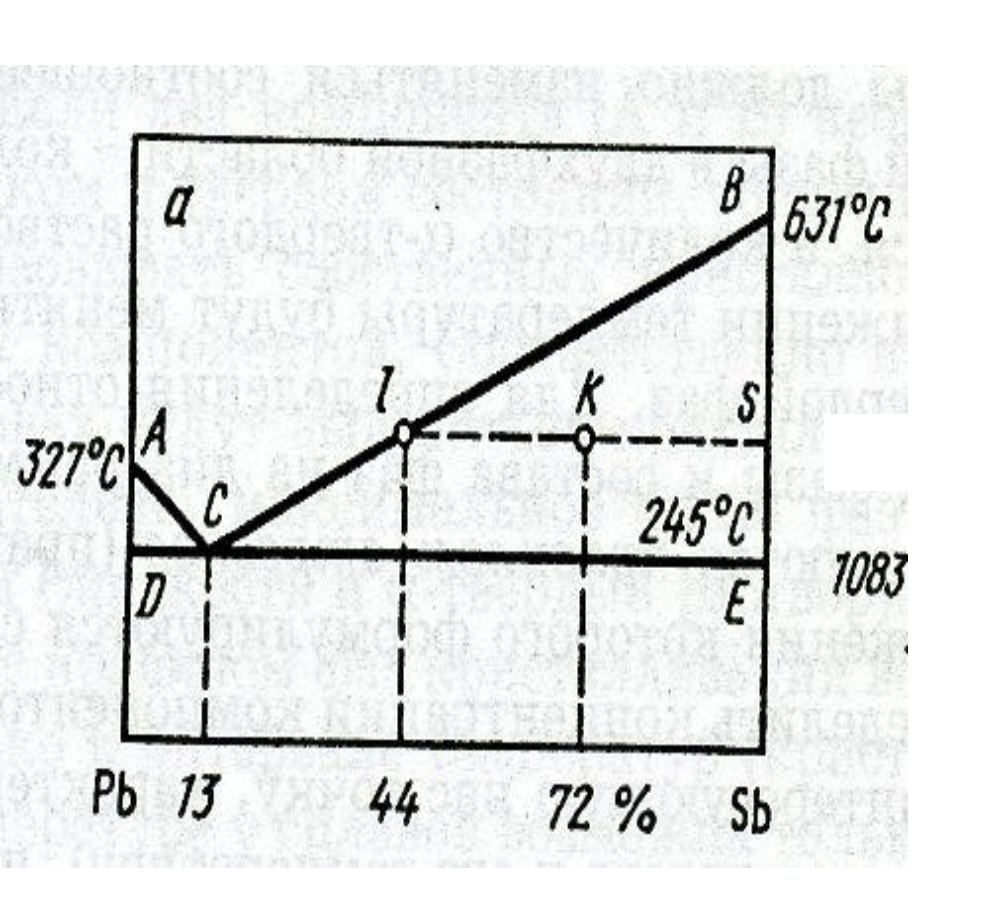




# Построение диаграммы состояния Вещества **А** и **В** неограниченно растворимы



# Вещество А не растворимо в веществе В в твердом состоянии



Соотношение фаз в (•) *К* 

$$Q_s \times s k = Q_l \times l k$$

$$Q_s/Q_l = lk/sk$$

$$Q_s / Q_{l+s} = lk/ls$$

### Ограниченная растворимость компонентов в твердом состоянии



A

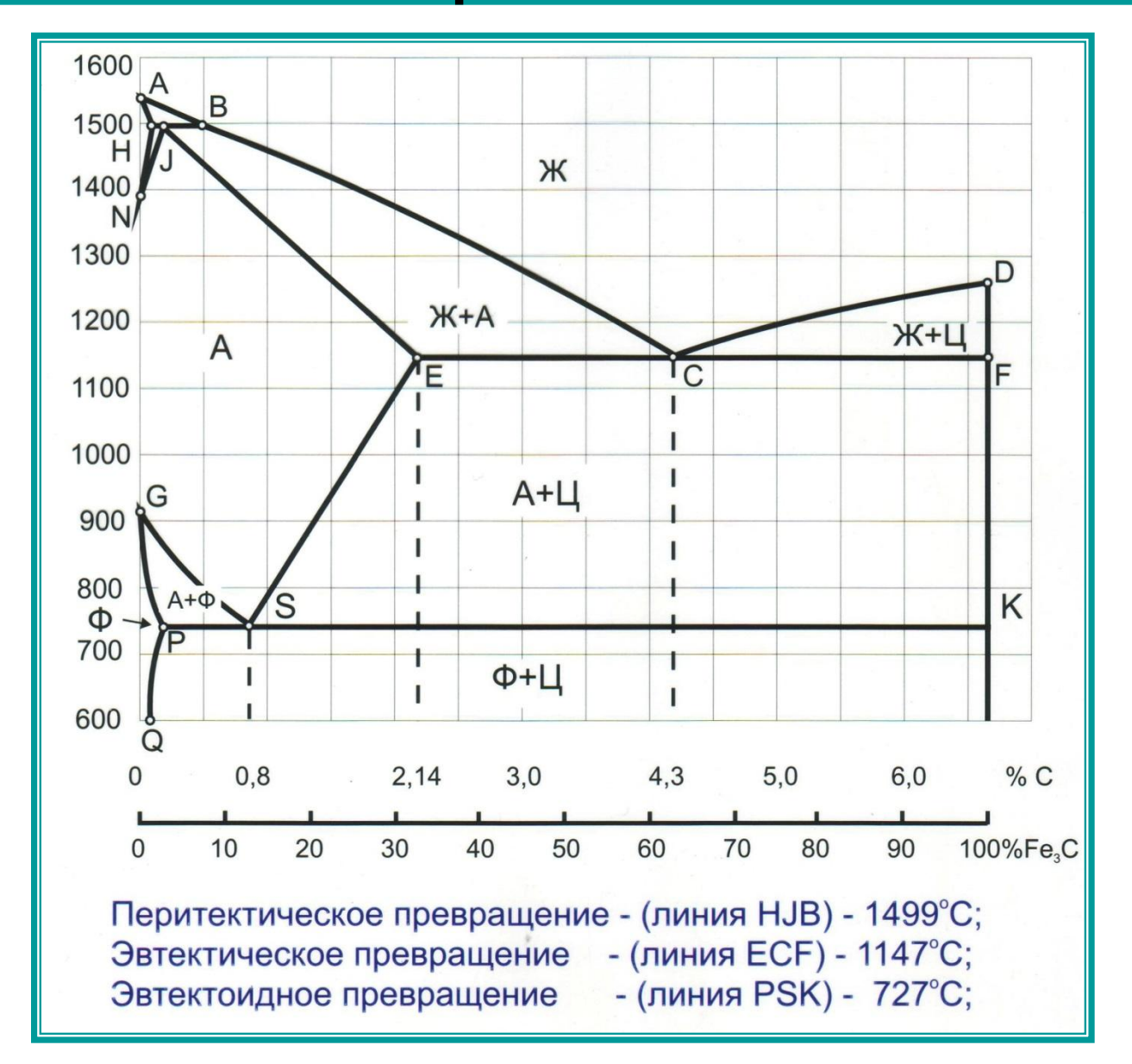
#### Железо и его свойства

#### Химически чистое железо Fe

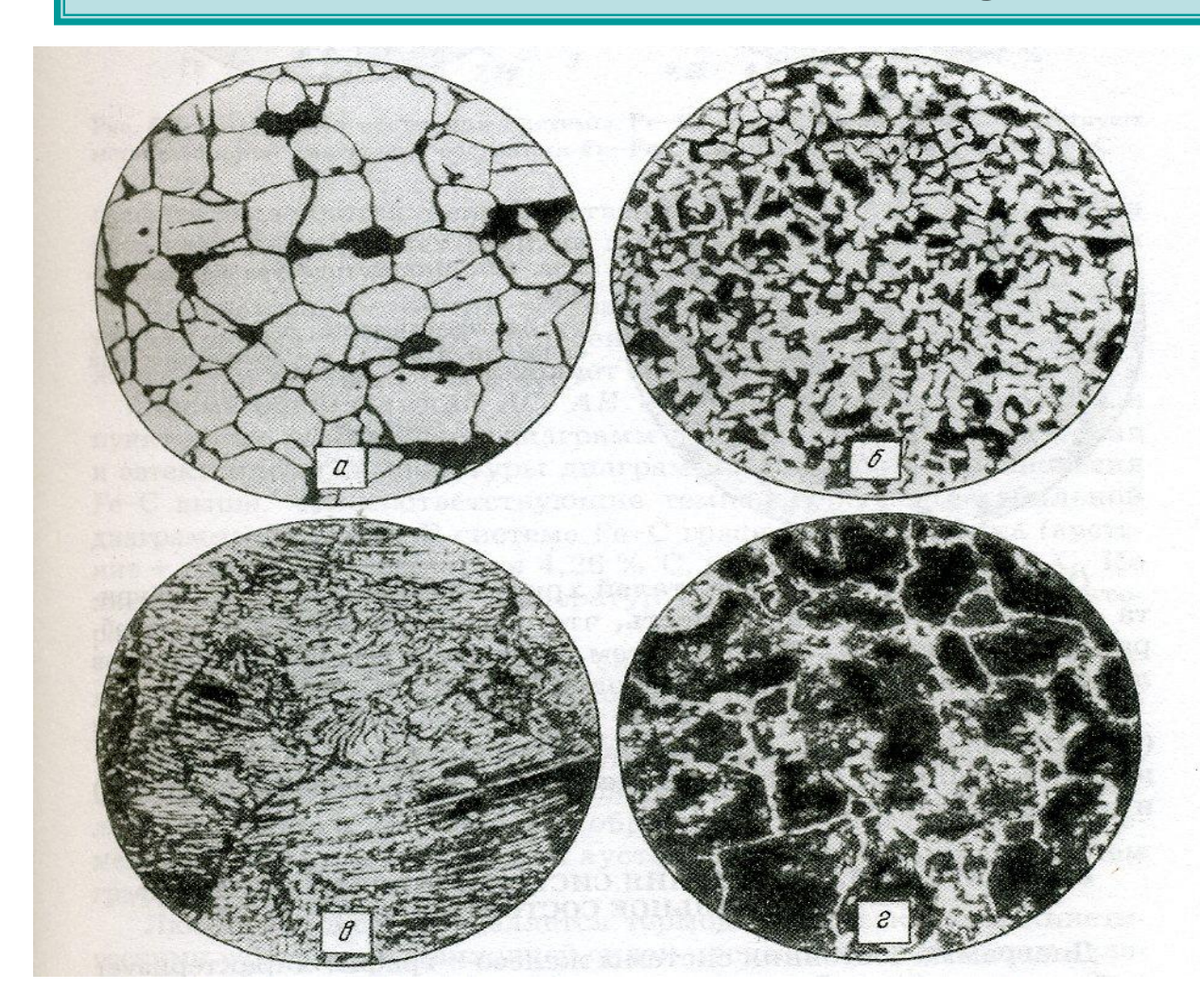
- Плотность 7,86 г/см<sup>3</sup>
- $T_{nn} = 1536 \, {}^{\circ}\text{C}$
- Прочность  $\sigma_e$  = 50 МПа
- Удлинение  $\delta = 50\%$
- ГЦК (**y** –железо) 910 ≤ T ≤ 1393 °C
- ОЦК (α –железо) T < 910; T > 1393 °C
- Хим соединение с углеродом Fe 3 C

- **Феррит** твердый раствор внедрения углерода в α – железе
- Аустенит твердый раствор внедрения углерода в ү – железе
- Цементит химическое соединение (карбид железа) Fe <sub>3</sub> C
- Мартенсит пересыщенный раствор углерода в α – железе
- Перлит механическая смесь феррита и цементита (0,8%С)
- **Ледебурит механическая смесь** аустенита и цементита (4,3%C)

### Диаграмма состояний железо цементит

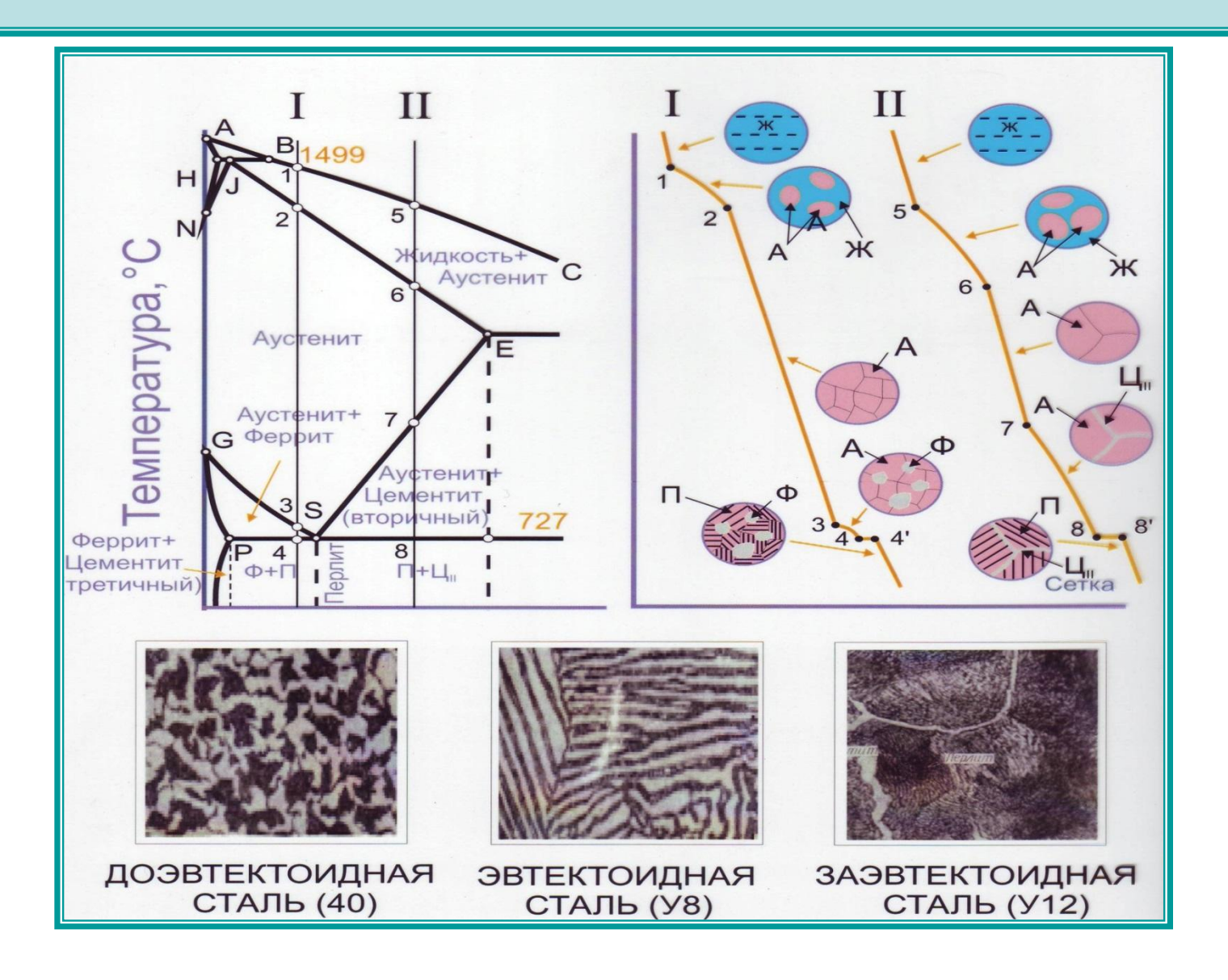


### Микроструктура сталей с различным содержанием углерода

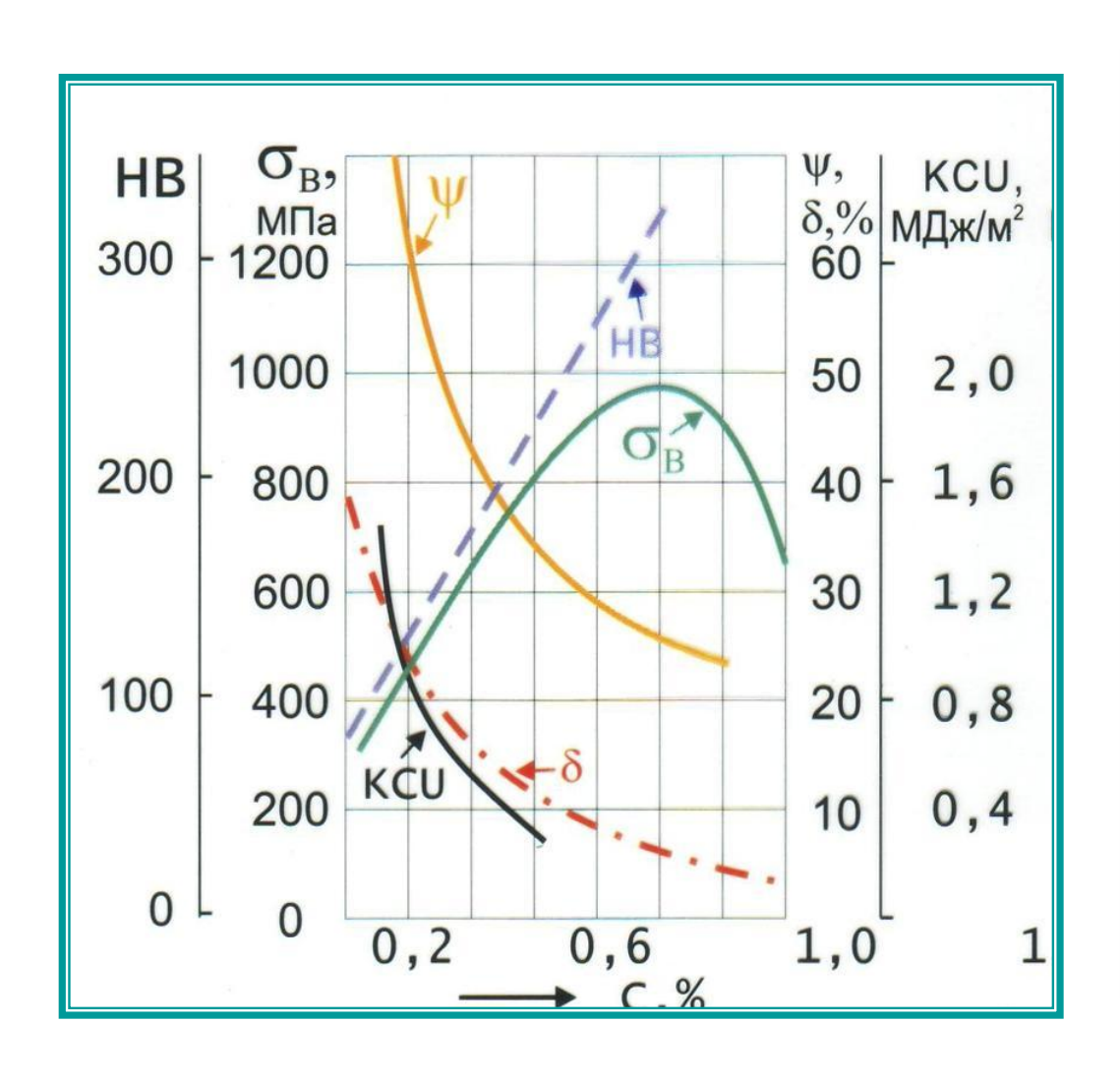


- a) 0,1% б) 0,4%
- в) 0,8%
- e) 1,2%

# Превращения в сталях при охлаждении



## Влияние углерода на свойства сталей



**HB** – твердость по Бриннелю

**о**<sub>в</sub> – временное сопротивление

 $\delta$  – относительное удлинение

 $\psi$  -относительное сужение

**КСU** – ударная вязкость

# Классификация чугунов

- Чугуны сплавы железа с углеродом, содержание углерода более 2,14%
- **Белые** углерод связан в цементит Fe<sub>3</sub>C
- Серые углерод находится в виде графита

Серые чугуны подразделяются

по форме включений графита на:

серые, ковкие и высокопрочные

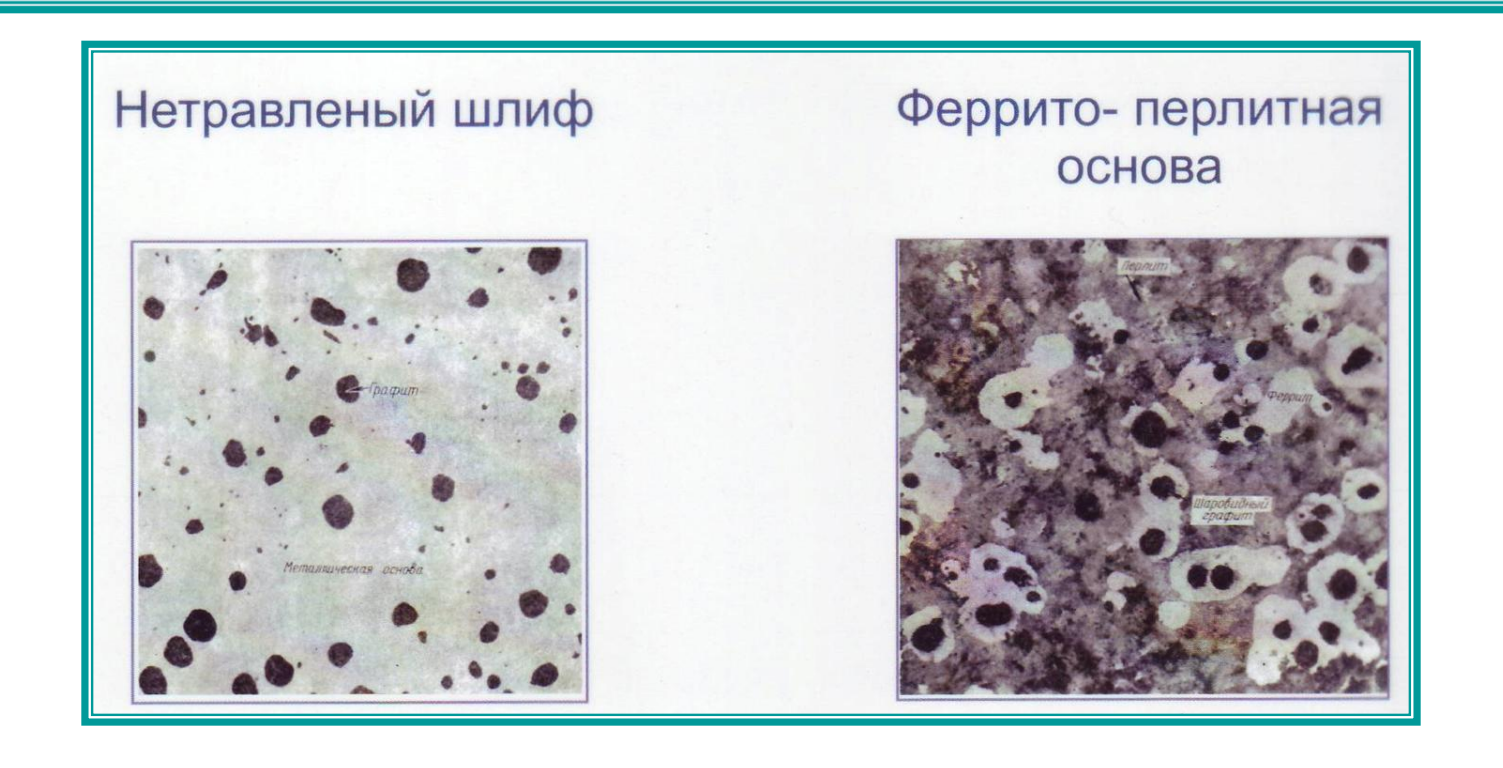
По структуре металлической основы на:

перлитные (C=0,8%), феррито-перлитные (C <0,8%), ферритные (C <0,02%)

# Микроструктура серых чугунов



## Высокопрочные чугуны



Включения графита имеют шаровидную форму Получают модификацией магнием и церием

#### Маркировка сталей

- В России и на территории СНГ принята буквенно-цифровая система обозначения марок сталей и сплавов.
- Стали обыкновенного качества маркируют Ст0.....Ст3....Ст6, где «Ст» означает сталь, а цифры—порядковый номер марки стали.

Углеродистые конструкционные качественные стали обозначают двухзначным числом, указывающим среднее содержание углерода в сотых долях процента (например, 05; 08; 10; 15; 20; 25...80; 85).

Углеродистые инструментальные стали обозначают буквой "У" и следующей за ней цифрой, указывающей среднее содержание углерода в десятых долях процента (например, У7; У8; У9; У10; У11; У12; У13).

## Легированные стали

# Легированные стали Основные легирующие элементы:

**А**-азот, **Б**-ниобий, **В**-вольфрам,

Г-марганец, Д-медь, Е-селен, К-кобальт,

М-молибден, Н-никель, П-фосфор, Р-бор,

С-кремний, Т-титан, Ф-ванадий, Х-хром,

Ц-цирконий, Ч-редкоземельные элементы,

Ю-алюминий.

# Маркировка легированных сталей

Цифры после буквы показывают примерное количество того или иного элемента, **округленное до целого числа**.

При среднем содержании легирующего элемента **до 1,5** % цифру за буквенным индексом не приводят.

Содержание углерода указывается в начале марки в сотых (конструкционные легированные стали) или десятых (инструментальные стали) долях процента

конструкционная **45**ХН2МФА инструментальная (штамповая) – **4**Х5МФС

Если содержание углерода в инструментальных легированных сталях **1% и более**, то цифру в начале марки иногда вообще не ставят (например, **X**, **XBГ**).

Буква "A" в конце марки, то сталь высококачественная (3ОХГСА).

Буква "A" стоит в середине марки - сталь **легирована азотом** (16Г2**А**Ф).

Буква "A" начале марки –сталь **автоматная** повышенной обрабатываемости (A35Г2).

# Виды термической обработки

**Закалка** — термическая обработка, в результате которой образуется неравновесная структура.

Сплав нагревается выше температуры фазового превращения в твердом состоянии, после чего быстро охлаждают, чтобы предотвратить равновесное превращение.

Сплавы закаливают для упрочнения.

Прочность возрастает либо в результате мартенситного фазового перехода, либо вследствие понижения температуры эвтектоидной реакции, приводящих к измельчению зерна.

Отпуск – термическая обработка, в результате которой в предварительно закаленных сплавах происходят фазовые превращения, приближающие их структуры к равновесной.

Сочетание закалки с отпуском приводит к повышению прочности, твердости.

При отпуске происходит частичный распад пересыщенного твердого раствора.

**Отжиг** — термическая обработка, в результате которой металлы или сплавы приобретают структуру, близкую к равновесной.

Отжиг вызывает **разупрочнение** сплавов, повышением пластичности, снятием остаточных напряжений.